

Die genauesten Uhren der Welt

Ursula Keller

Department of Physics, Institute for Quantum Electronics,
ETH Zurich, Switzerland

16. Schweizerischer Tag für Physik und Unterricht
ETH Zürich, 13. Nov. 2015

The International Year of Light and Light-based Technologies

2015



INTERNATIONAL
YEAR OF LIGHT
2015

Health

Communications

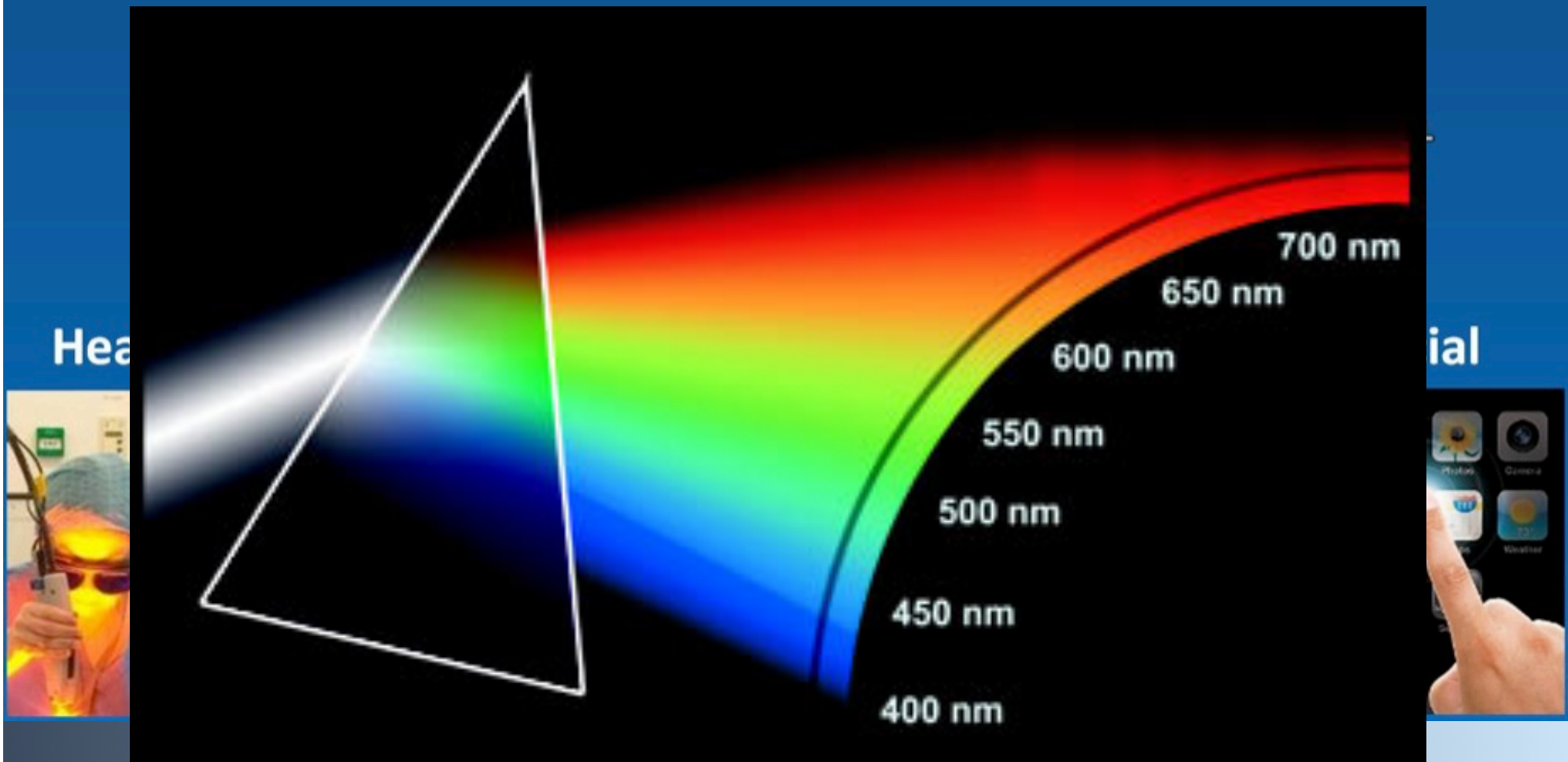
Economy

Environment

Social

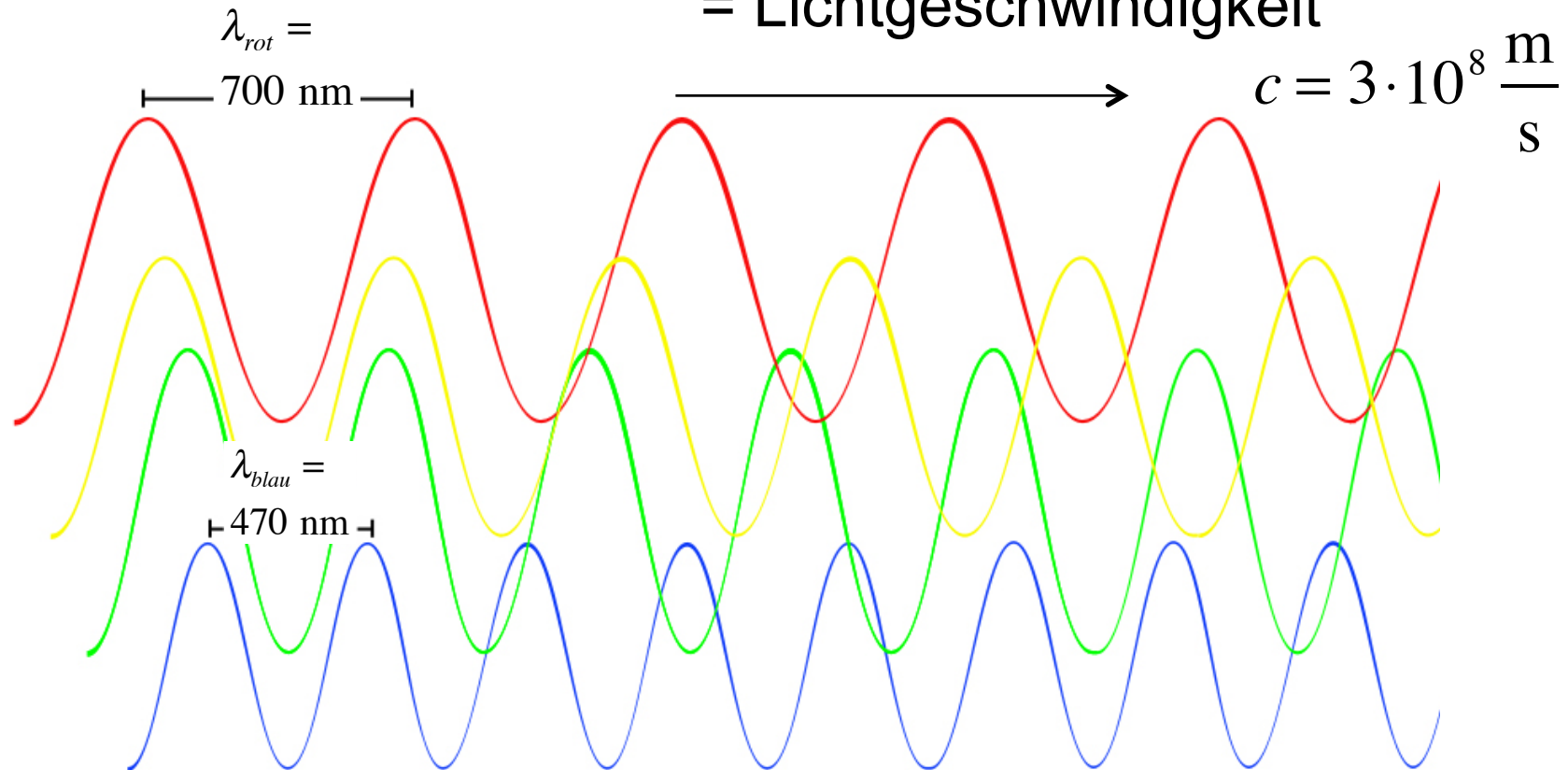


The International Year of Light and Light-based Technologies 2015



Licht

Ausbreitungsgeschwindigkeit
= Lichtgeschwindigkeit



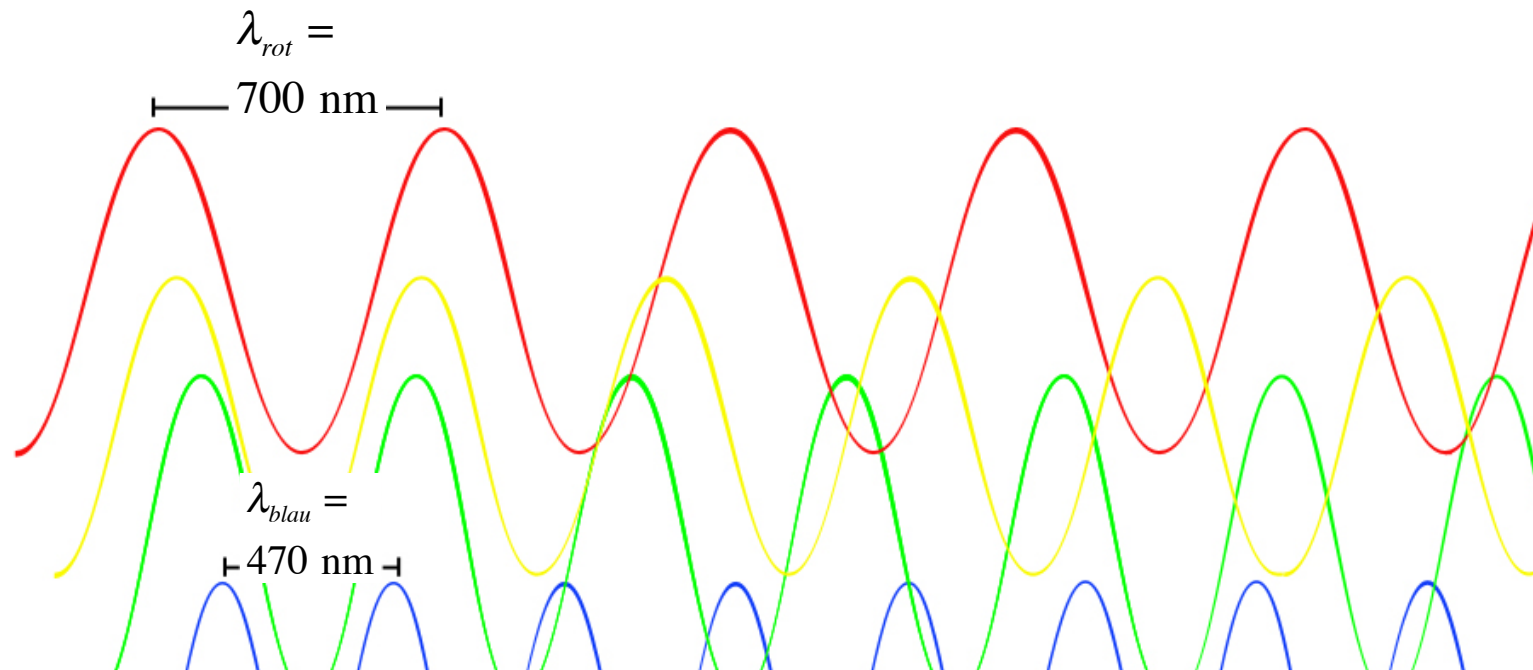
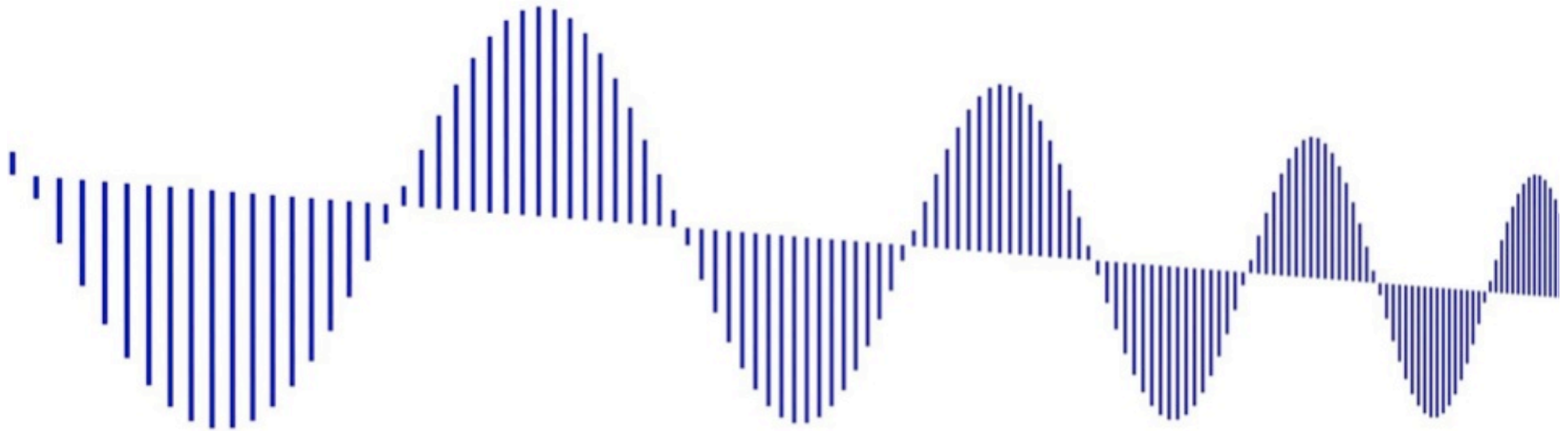
> 100 THz

Die Wellenlängen λ des Lichts
rot hat eine längere Wellenlänge – eine niedrigere Frequenz
als blau

$$\nu \propto \frac{1}{\lambda}$$



Linear Polarisiertes Licht: Elektrischer Feldvektor oszilliert in einer Ebene

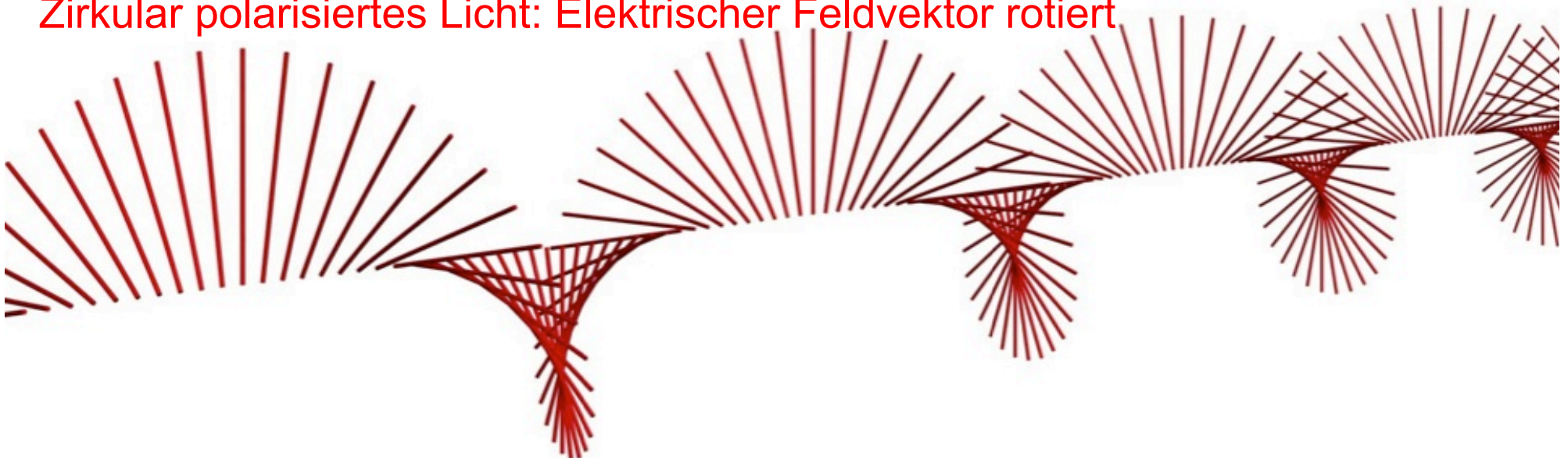


Attoclock

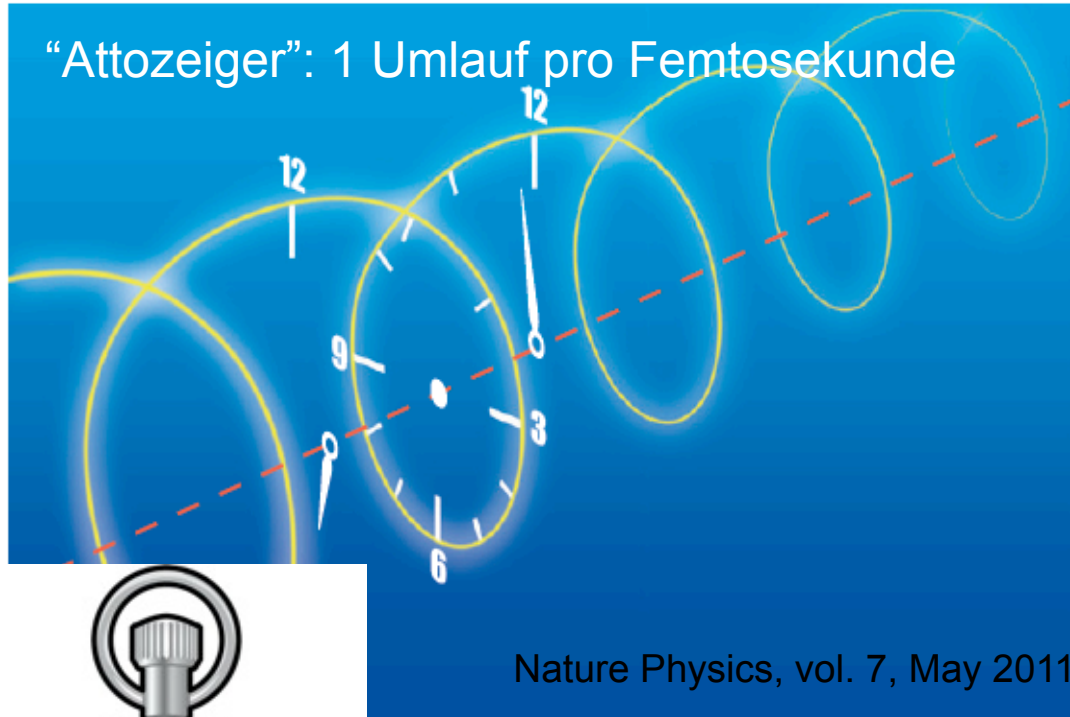
Linear Polarisiertes Licht: Elektrischer Feldvektor oszilliert in einer Ebene



Zirkular polarisiertes Licht: Elektrischer Feldvektor rotiert



Attoclock



Stundenzeiger:
2 volle Rotationen pro Tag

Minutenzeiger:
1 volle Rotation pro Stunde

Sekundenzeiger:
1 volle Rotation pro Minute

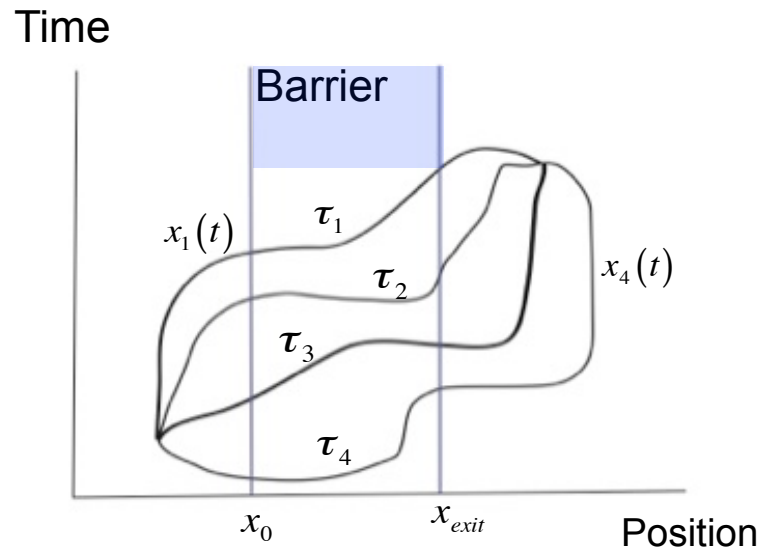
... die Zeitmessung ist umso
genauer je schneller die Rotation



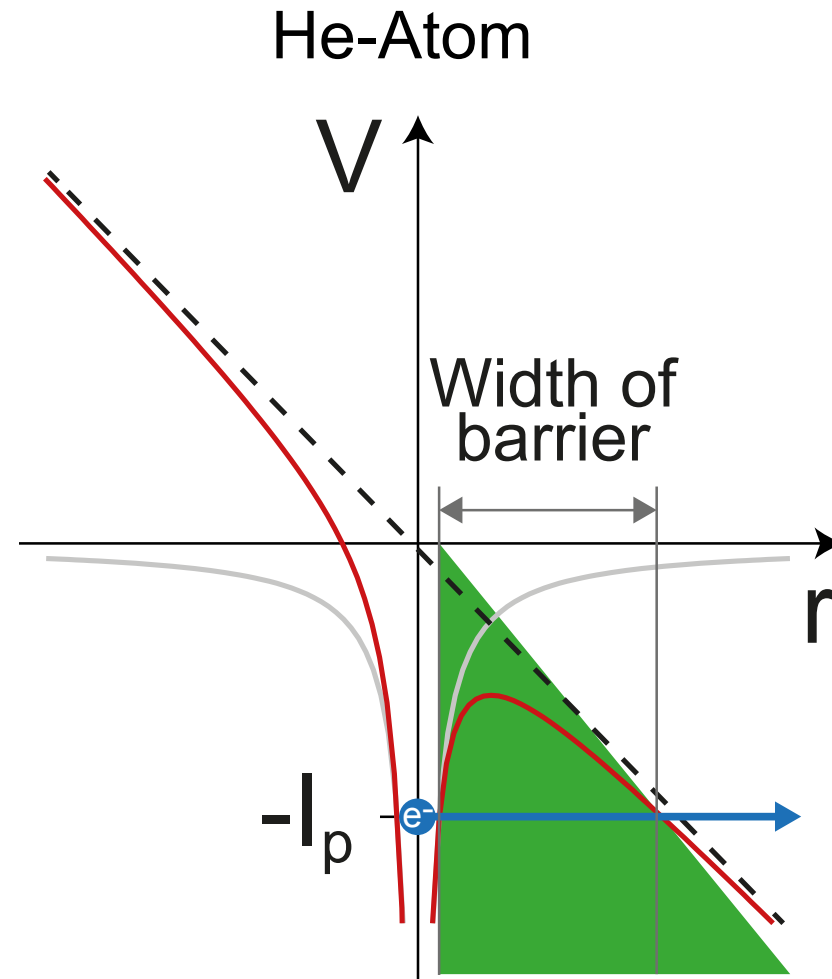
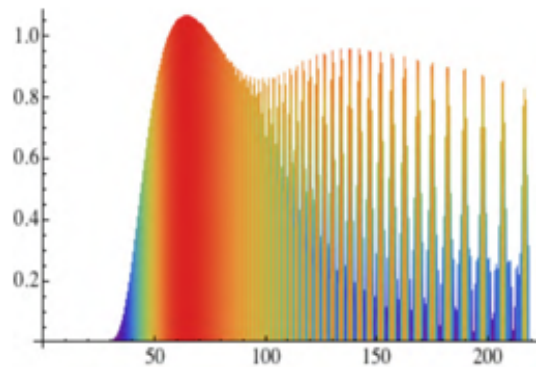
Für $\lambda = 735 \text{ nm}$:
 $1^\circ = 7 \text{ Attosekunden}$
 $1 \text{ as} = 1 \cdot 10^{-18} \text{ s}$



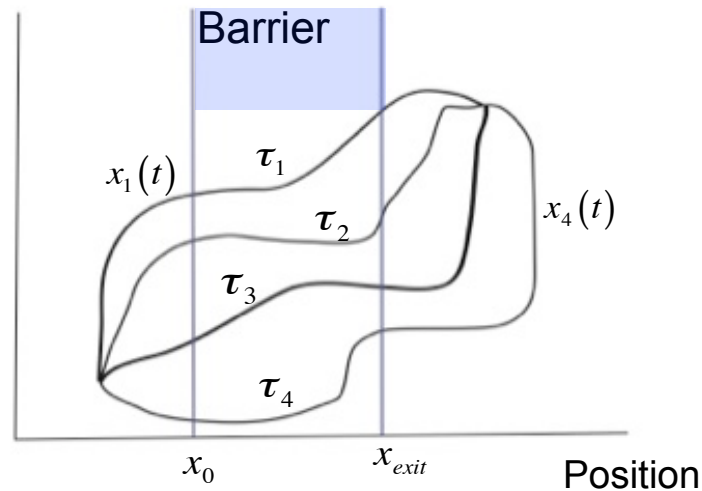
ETH Wie lange braucht ein Elektron durch eine Tunnelbarriere?



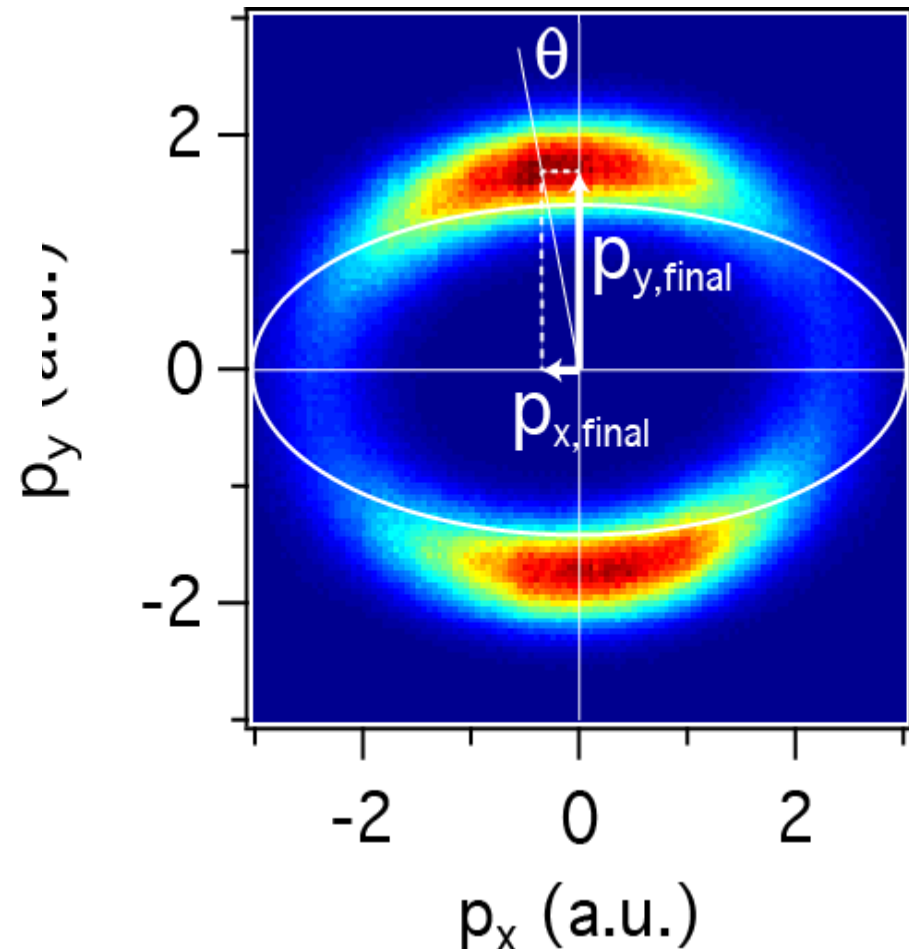
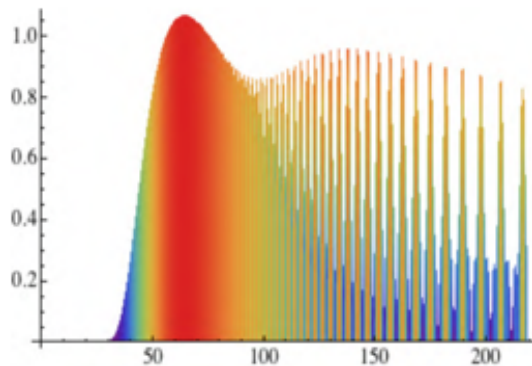
$P(\tau)$ a)



Time



10 kHz laser system

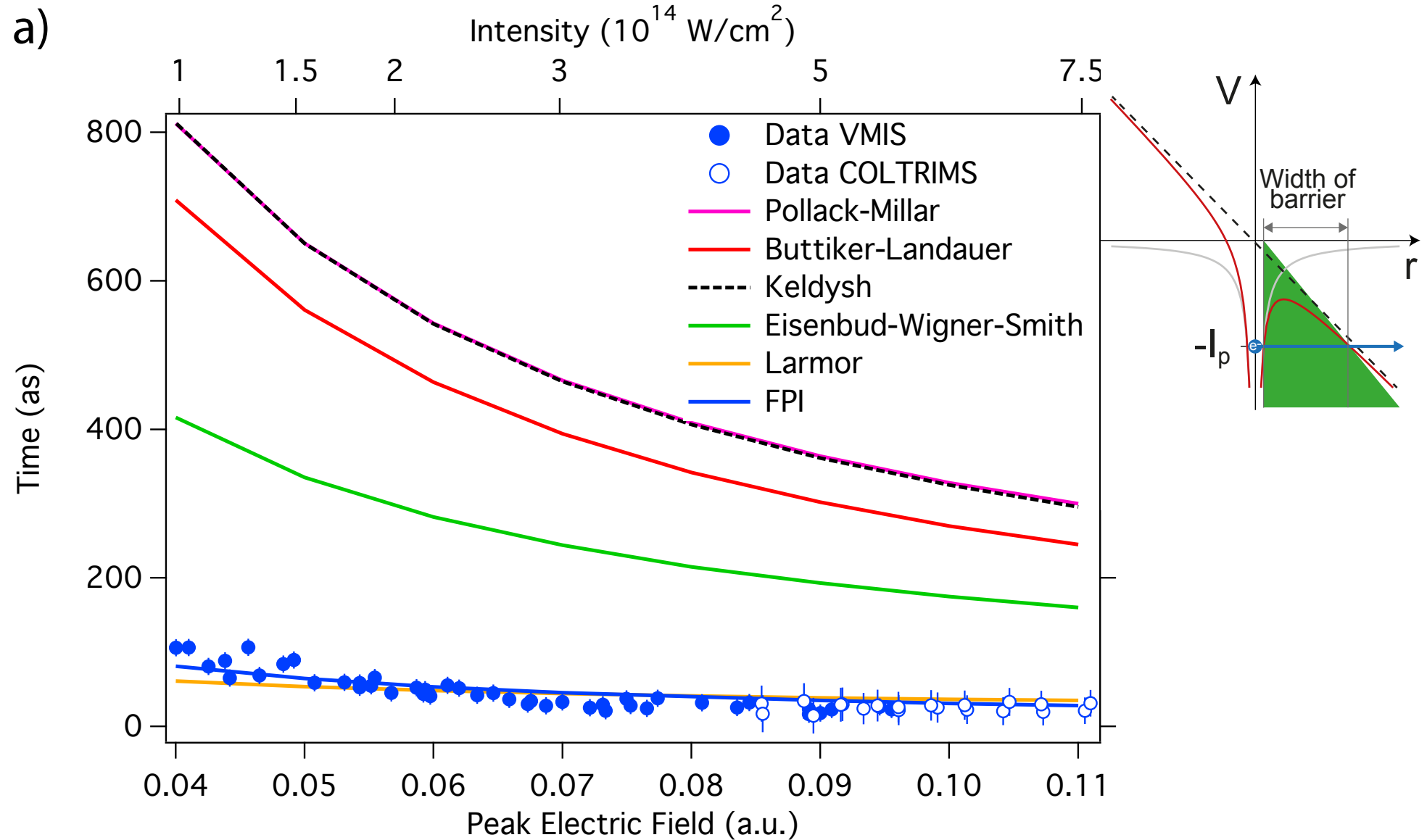
 $P(\tau)$ a)

Probability distribution for different tunneling times (FPI):

Peak of this distribution determines the “most probable trajectory” – consistent with the attoclock measurement for “peak search” (i.e. angle with highest count of electron)

Attoclock results from Helium

A. S. Landsman et al.,
Optica 1, 343, 2014



- **Gute Zeitauflösung (kurze Laserpulse)**

Messung von schnellen Prozessen

- **Hohe Pulsrepetitionsrate**

Frequenzkämme (1-10 GHz)
Optische Kommunikation
Optische Taktgeber

- **Hohe Spitzenleistung bei moderaten Energien**

Nichtlineare Optik
Materialbearbeitung
Neue Energiequellen (Laser fusion)

- **Breites optisches Spektrum**

Frequenzmessung (Frequenzkämme)
Optische Uhren
Optische Kohärenz-Tomographie (OCT)

Optische Uhr (>100 THz):

Zeit ist definiert durch eine gewisse Anzahl von Oszillationen innerhalb eines vorgegebenen Zeitintervalls:

„je höher die Oszillationsfrequenz, umso genauer ist die Zeitmessung und damit die Uhr“

- **0.001 Hz:** Sanduhr




- **1 Hz:** Mechanische Uhr



- **10 MHz:** Quarzuhr

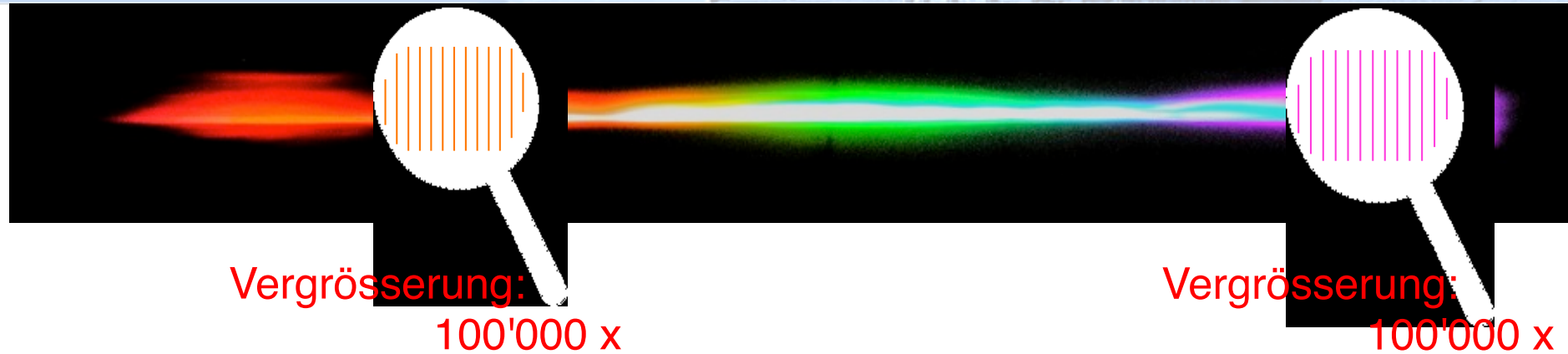
Piezoelectric crystal resonator




- **9 GHz:** Atomuhr

GPS



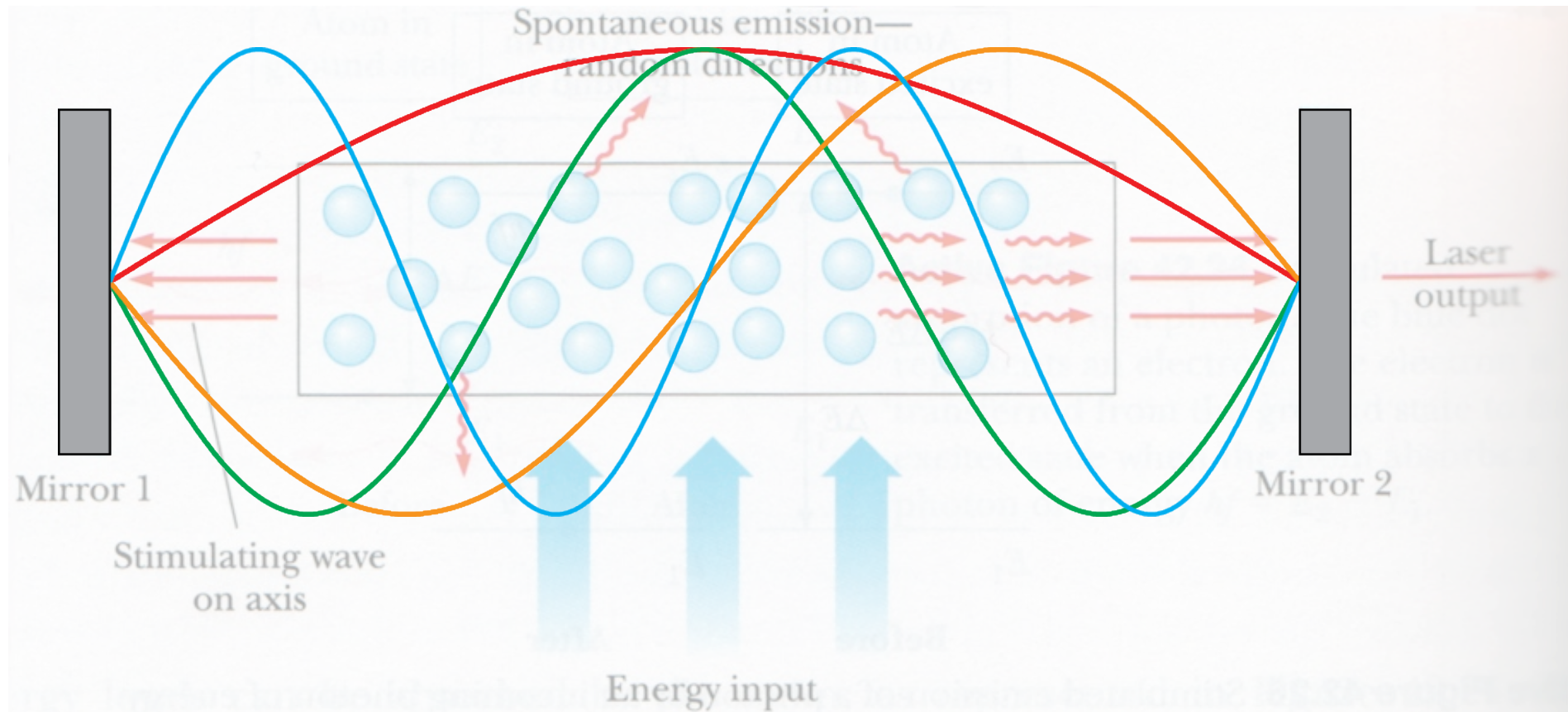


- ◆ Kurze Laserpulse haben ein breites Spektrum
- ◆ Frequenzmessung braucht feine Frequenzlinien

Kurze Pulse für Zeit- und Frequenzmessung – geht das überhaupt?

- ◆ Spektrum von einem Femtosekundenlaser besteht aus Millionen von feinen Linien

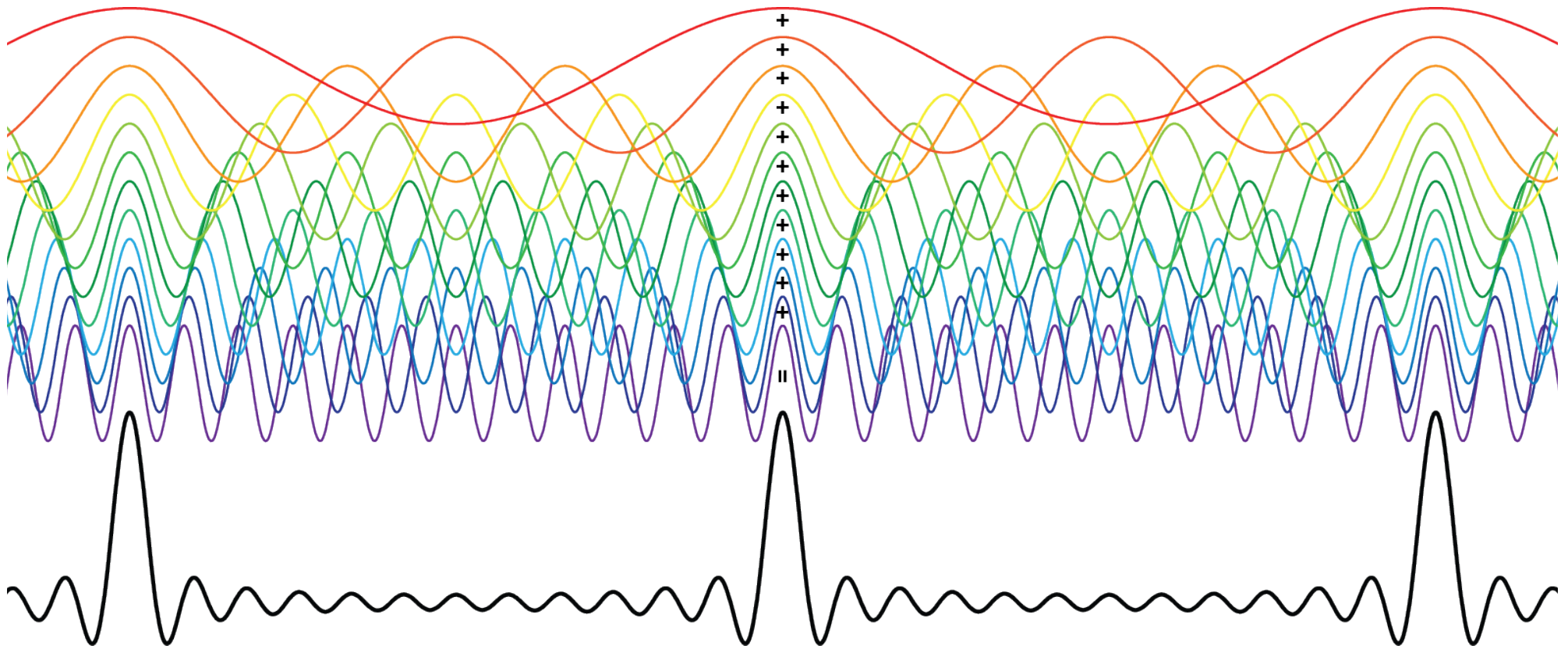
... und diese Linien haben überall den gleichen Abstand!

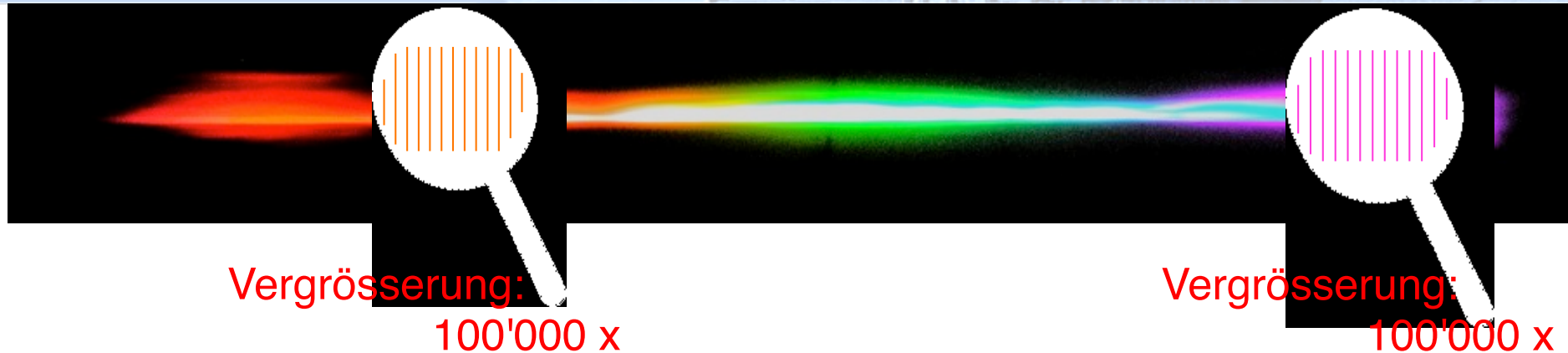


- Es passen nur Lichtwellen mit bestimmten Frequenzen in die Laserkavität (vergl. beidseitig eingespannte Saite)
- Die möglichen Wellen haben einen konstanten Frequenzabstand voneinander

ETH Zürich Lichtpulse als Überlagerung vieler Frequenzen

- Ein kontinuierlicher Laser emittiert nur eine oder wenige dieser Frequenzen
- Lichtpulse werden dagegen als Überlagerung von Hunderttausenden bis Millionen einzelner Schwingungen erzeugt





◆ Spektrum von einem Femtosekundenlaser besteht aus Millionen von feinen Linien

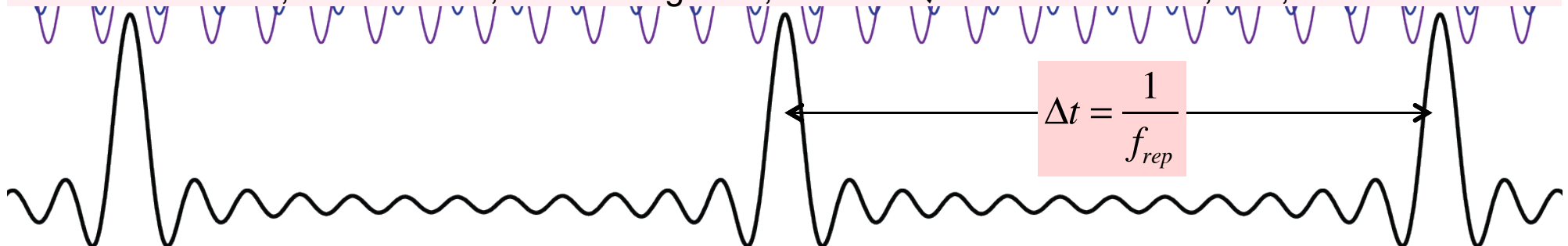
... und diese Linien haben überall den gleichen Abstand f_{rep} !

Linienabstand wurde stabilisiert 1980's:

Patent D. Cotter (1985, British Telecom)

Actively modelocked flashlamp-pumped Nd:YAG laser (1986)

M. J. W. Rodwell, D. M. Bloom, K. J. Weingarten, *IEEE J. Quantum Electr.* **25**, 817, 1989





- ◆ Spektrum von einem Femtosekundenlaser besteht aus Millionen von feinen Linien

... und diese Linien haben überall den gleichen Abstand f_{rep} !

- ◆ Femtosekundenlaser ist für die Frequenzen wie ein Lineal für Längen

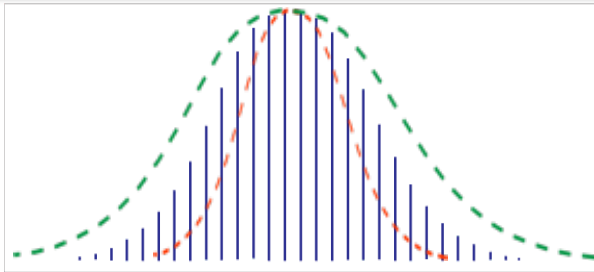


- ◆ aber der „Anfang“ von diesem Lineal war nicht stabilisiert!

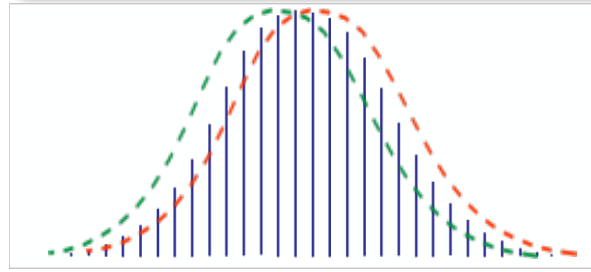
Lösung gefunden 1999:

H.R. Telle, G. Steinmeyer, A. E. Dunlop, J. Stenger, D. H. Sutter, U. Keller
Appl. Phys. B **69**, 327 (1999)

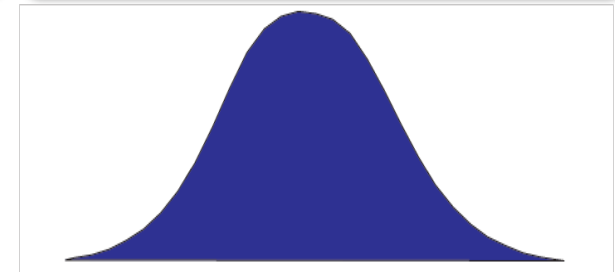
unlocked comb spacing



unlocked comb offset



time average



- ◆ Femtosekundenlaser ist für die Frequenzen wie ein Lineal für Längen



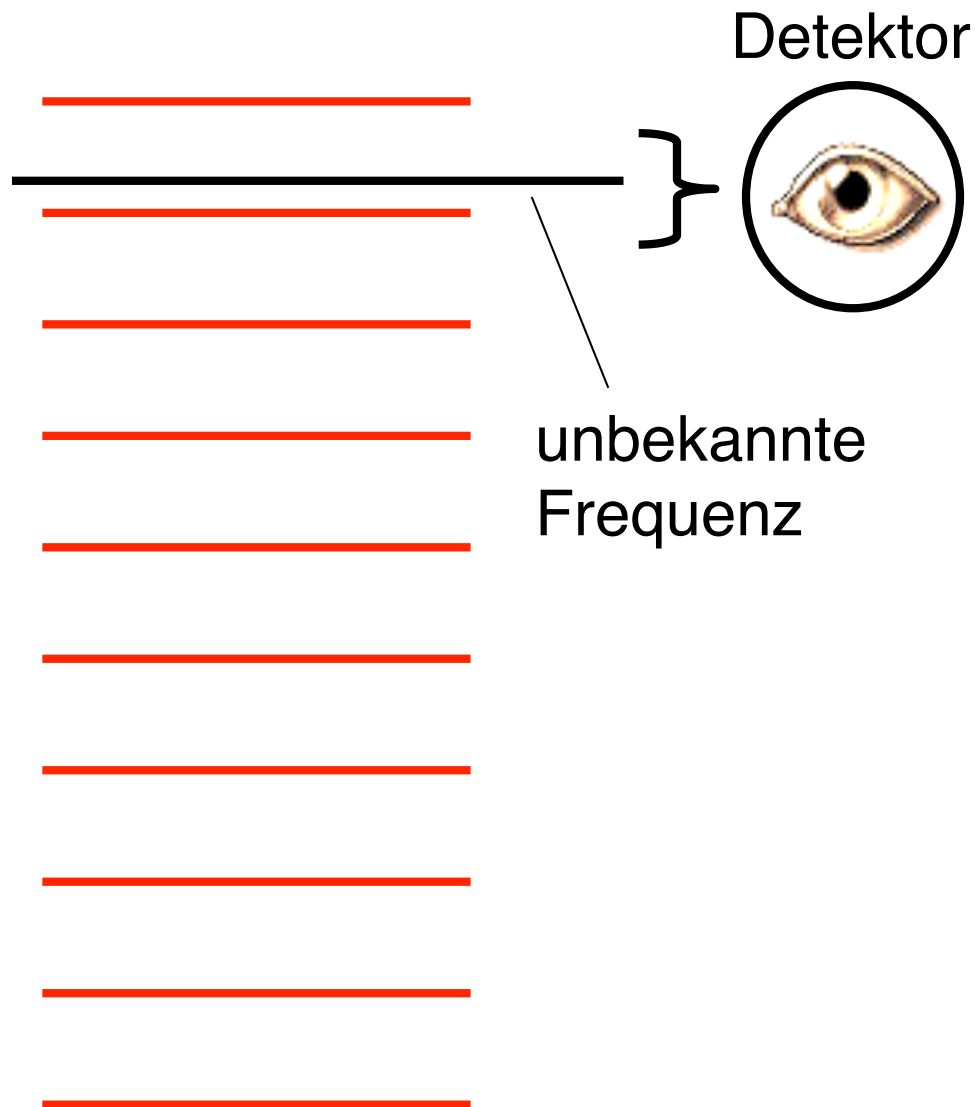
- ◆ aber der „Anfang“ von diesem Lineal war nicht stabilisiert!

Lösung gefunden 1999:

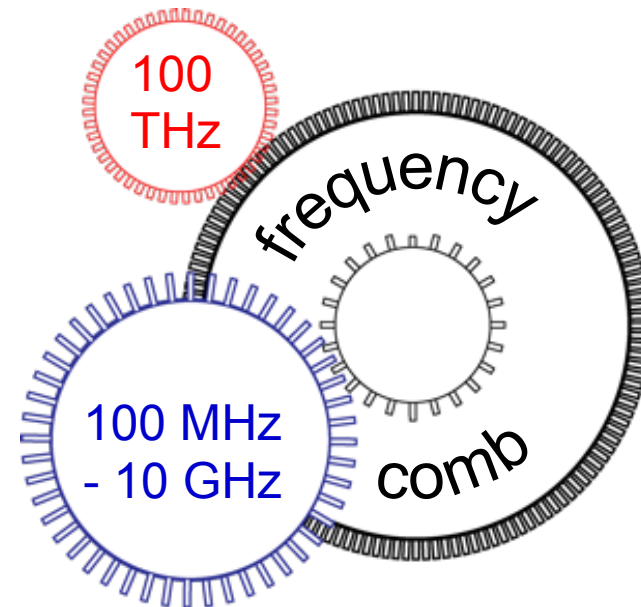
H.R. Telle, G. Steinmeyer, A. E. Dunlop, J. Stenger, D. H. Sutter, U. Keller
Appl. Phys. B **69**, 327 (1999)

Wie kann ich mit fs-Laser Zeiten messen?

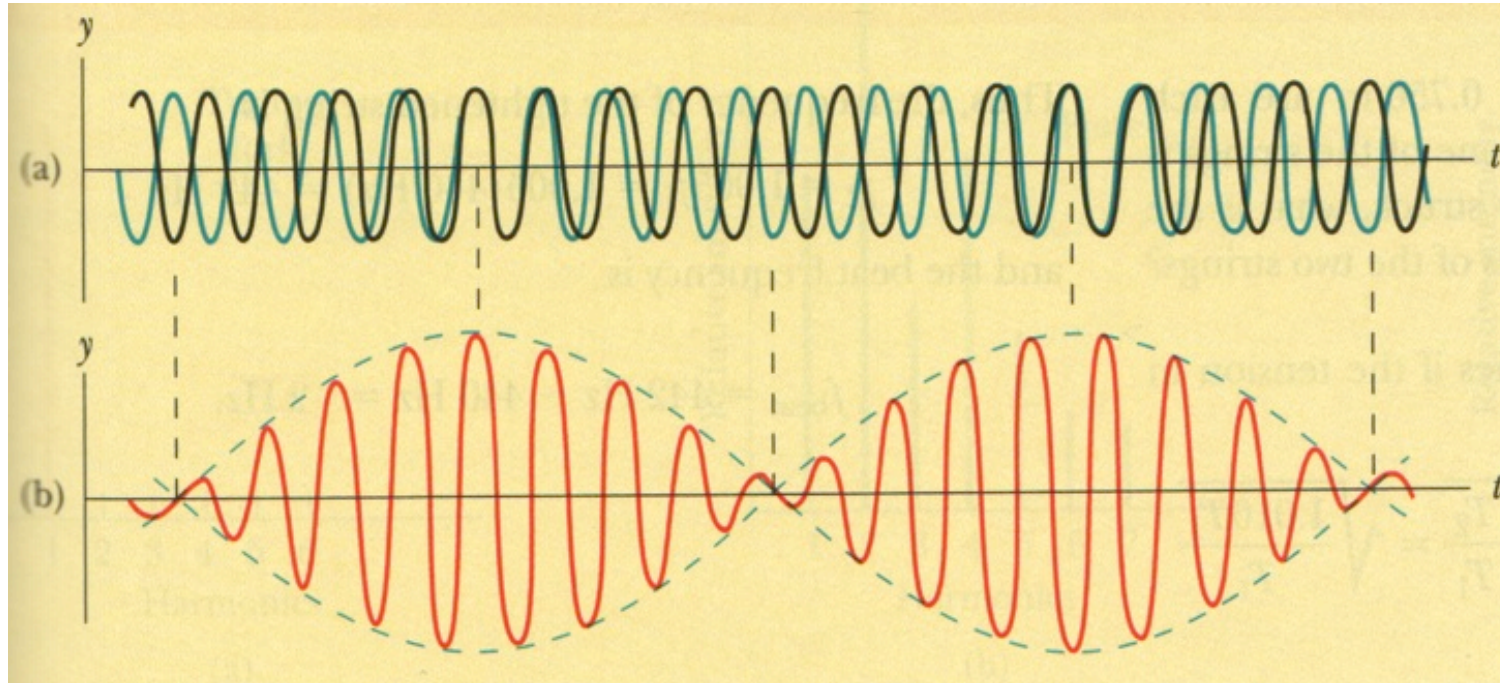
Frequenzkamm



- ◆ optische Frequenzen zu hoch für direkte Messung
- ◆ Detektor misst Differenzen von Frequenzen = Schwebungssignal



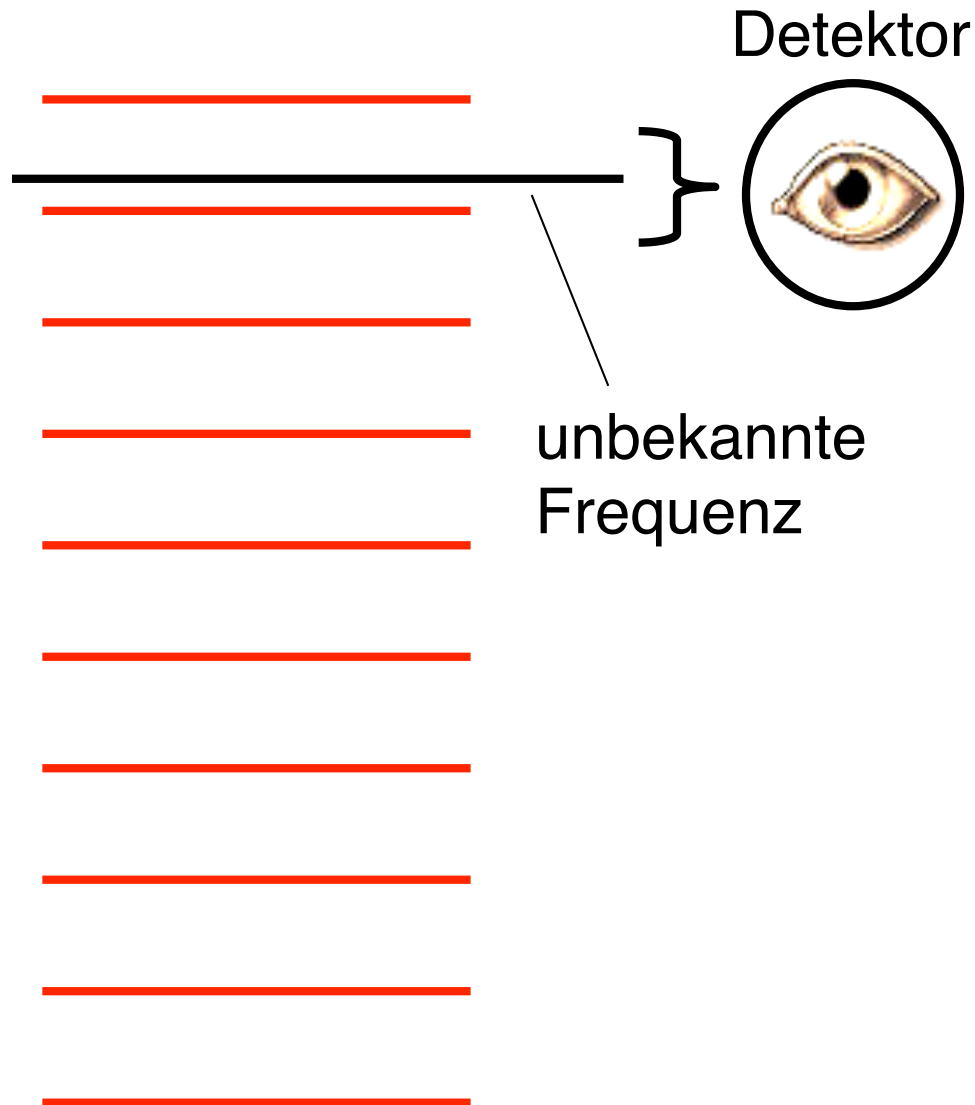
Schwebung



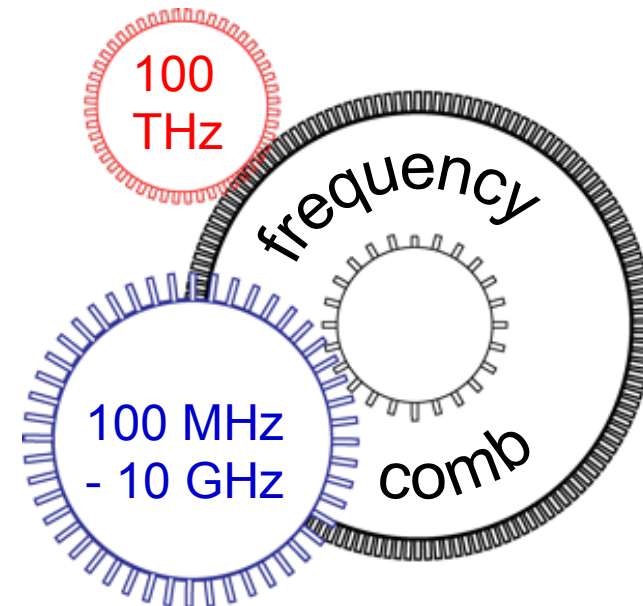
Die Überlagerung zweier benachbarter Frequenzen f_1 und f_2 auf einer Photodiode ergibt ein Schwebungssignal bei der Differenzfrequenz $f_1 - f_2$

Wie kann ich mit fs-Laser Zeiten messen?

Frequenzkamm



- ◆ optische Frequenzen zu hoch für direkte Messung
- ◆ Detektor misst Differenzen von Frequenzen = Schwebungssignal
- ◆ Messung des Abstandes unbekannte Frequenz – Kammlinie
- ◆ optische Frequenz wird zählbar
- ◆ damit Zeitmessung



Astronomy & Astrophysics manuscript no. 1827ms
(DOI: will be inserted by hand later)

January 21, 2005

VLT/UVES constraints on the cosmological variability of the fine-structure constant*

S. A. Levshakov¹, M. Centurión², P. Molaro², and S. D'Odorico³

¹ Department of Theoretical Astrophysics, Ioffe Physico-Technical Institute, 194021 St.Petersburg, Russia

² Osservatorio Astronomico di Trieste, Via G. B. Tiepolo 11, 34131 Trieste, Italy

³ European Southern Observatory, Karl-Schwarzschild-Strasse 2, D-85748 Garching bei München, Germany

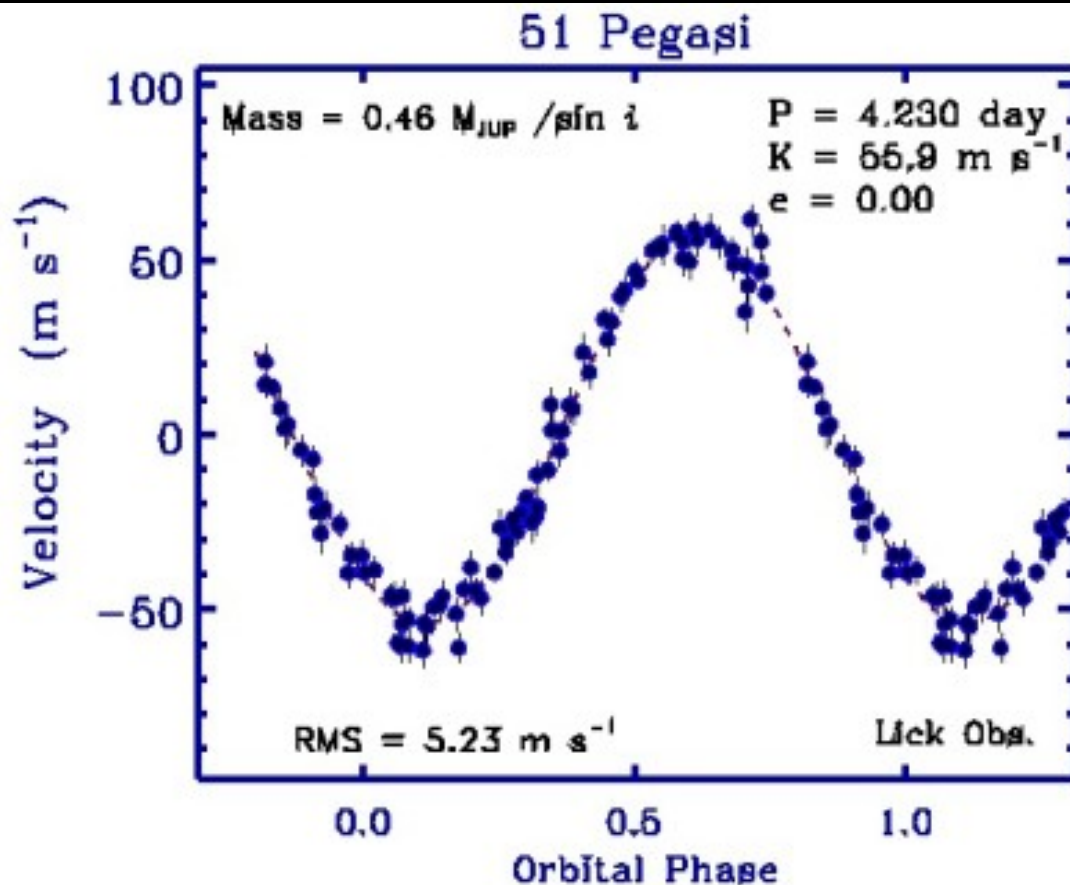
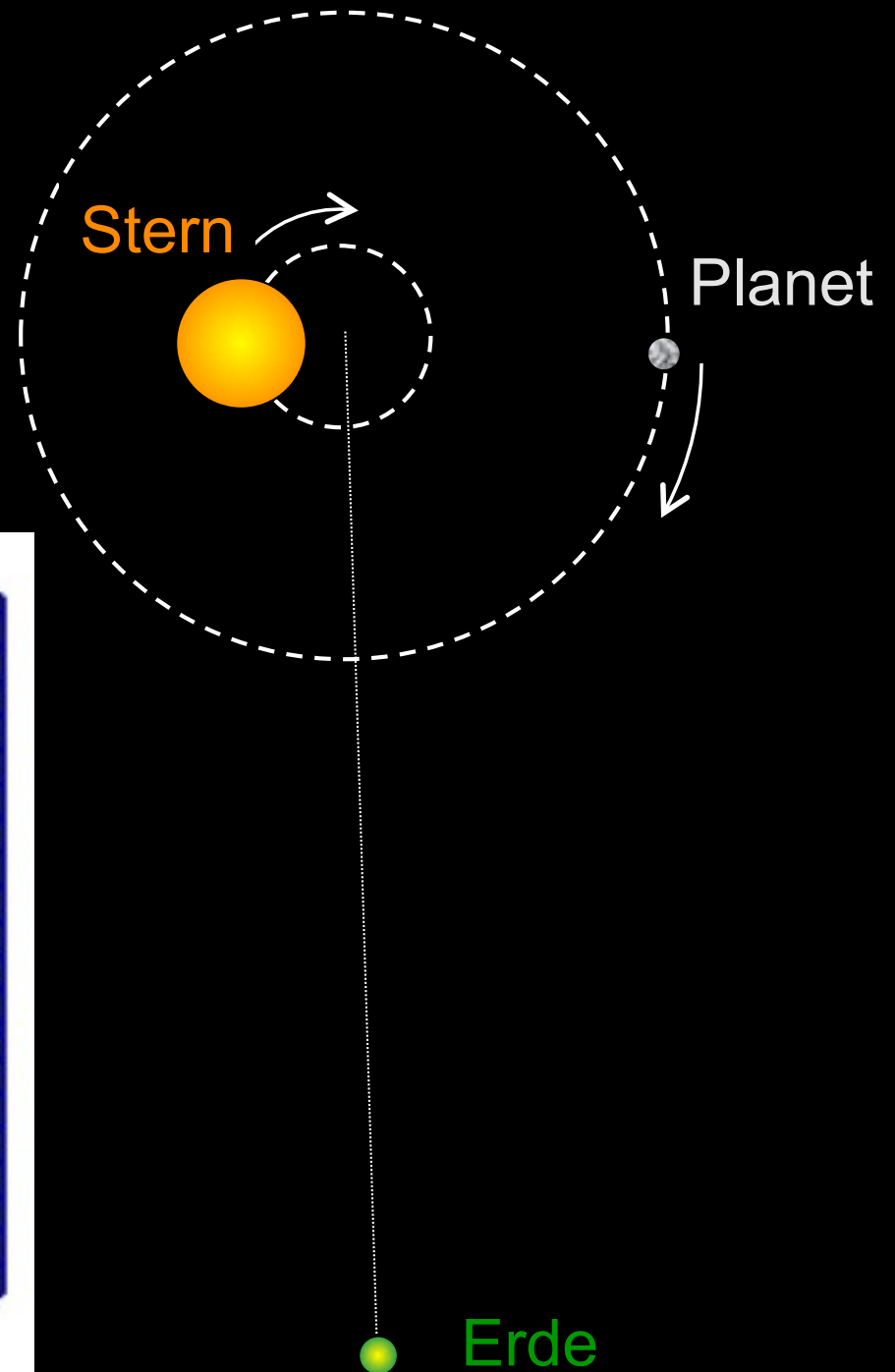
Received 00 / Accepted 00

Abstract. We propose a new methodology for probing the cosmological variability of α from pairs of Fe II lines (SIDAM, single ion differential α measurement) observed in individual exposures from a high resolution spectrograph. By this we avoid the influence of the spectral shifts due to (i) ionization inhomogeneities in the absorbers and (ii) non-zero offsets between different exposures. Applied to the Fe II lines of the metal absorption line system at $z_{\text{abs}} = 1.839$ in the spectrum of Q 1101-264 obtained by means of the UV-Visual Echelle Spectrograph (UVES) at the ESO Very Large Telescope (VLT), SIDAM provides $\Delta\alpha/\alpha = (2.4 \pm 3.8_{\text{stat}}) \times 10^{-6}$. The $z_{\text{abs}} = 1.15$ Fe II system toward HE 0515-4414 has been re-analyzed by this method thus obtaining for the combined sample $\Delta\alpha/\alpha = (0.4 \pm 1.5_{\text{stat}}) \times 10^{-6}$. These values are shifted with respect to the Keck/HIRES mean $\Delta\alpha/\alpha = (-5.7 \pm 1.1_{\text{stat}}) \times 10^{-6}$ (Murphy et al. 2004) at very high confidence level (95%). The fundamental photon noise limitation in the $\Delta\alpha/\alpha$ measurement with the VLT/UVES is discussed to figure the prospects for future observations. It is suggested that with a spectrograph of ~ 10 times the UVES dispersion coupled to a 100 m class telescope the present Oklo level ($\Delta\alpha/\alpha \geq 4.5 \times 10^{-8}$) can be achieved along cosmological distances with differential measurements of $\Delta\alpha/\alpha$.

0408188 v3 21 Jan 2005

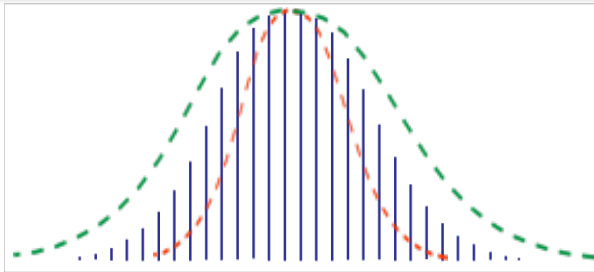
Entdeckung von Planeten

Prof. Michel Mayor, Uni Genf

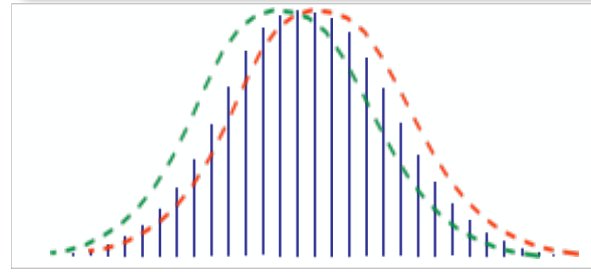


ETH Wie kann ich den Frequenzkamm stabilisieren?

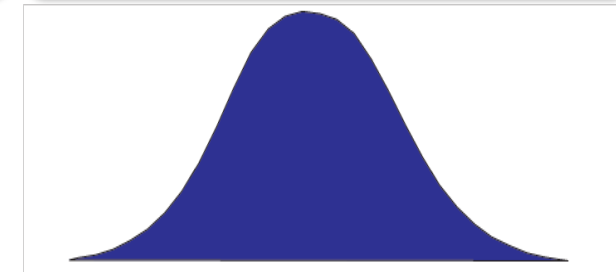
unlocked comb spacing



unlocked comb offset



time average



- ◆ Femtosekundenlaser ist für die Frequenzen wie ein Lineal für Längen



- ◆ aber der „Anfang“ von diesem Lineal war nicht stabilisiert!

Lösung gefunden 1999:

H.R. Telle, G. Steinmeyer, A. E. Dunlop, J. Stenger, D. H. Sutter, U. Keller
Appl. Phys. B **69**, 327 (1999)



Mode-locked pulse train

Pulse envelope

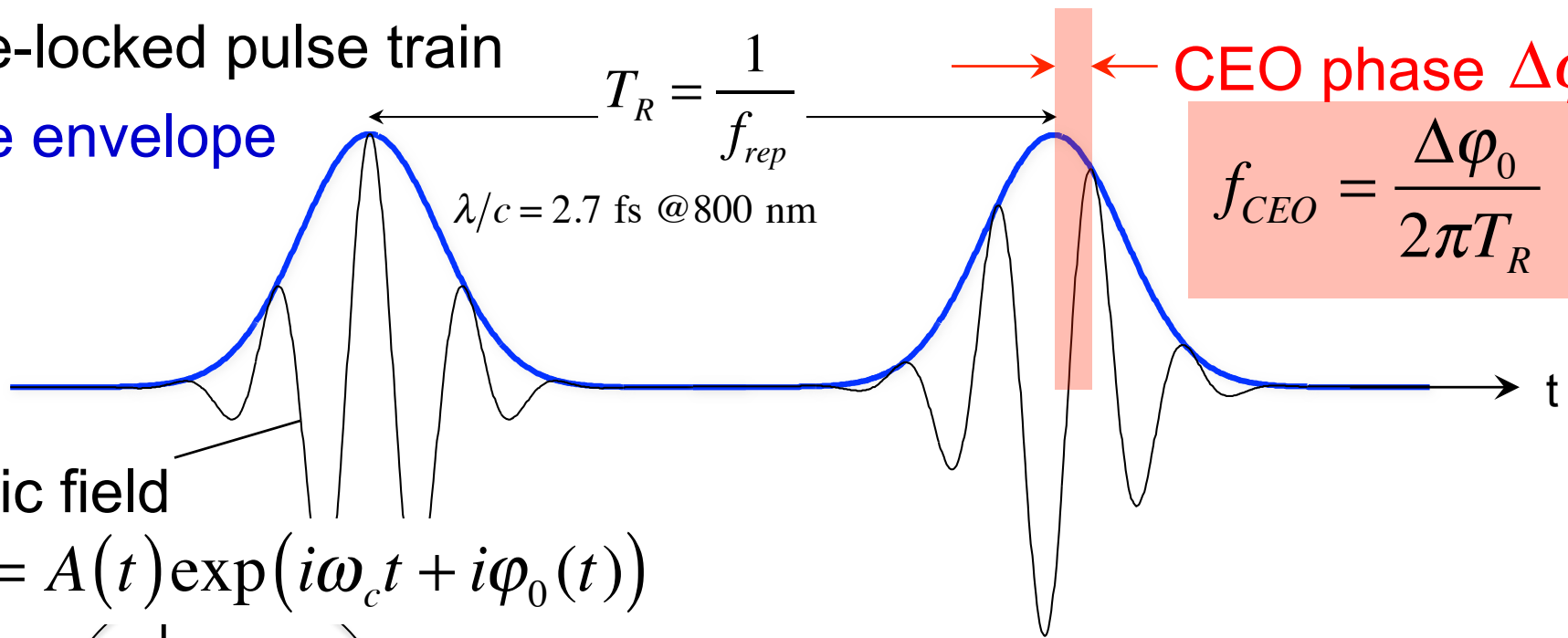
 $A(t)$

$$T_R = \frac{1}{f_{rep}}$$

$$\lambda/c = 2.7 \text{ fs @ 800 nm}$$

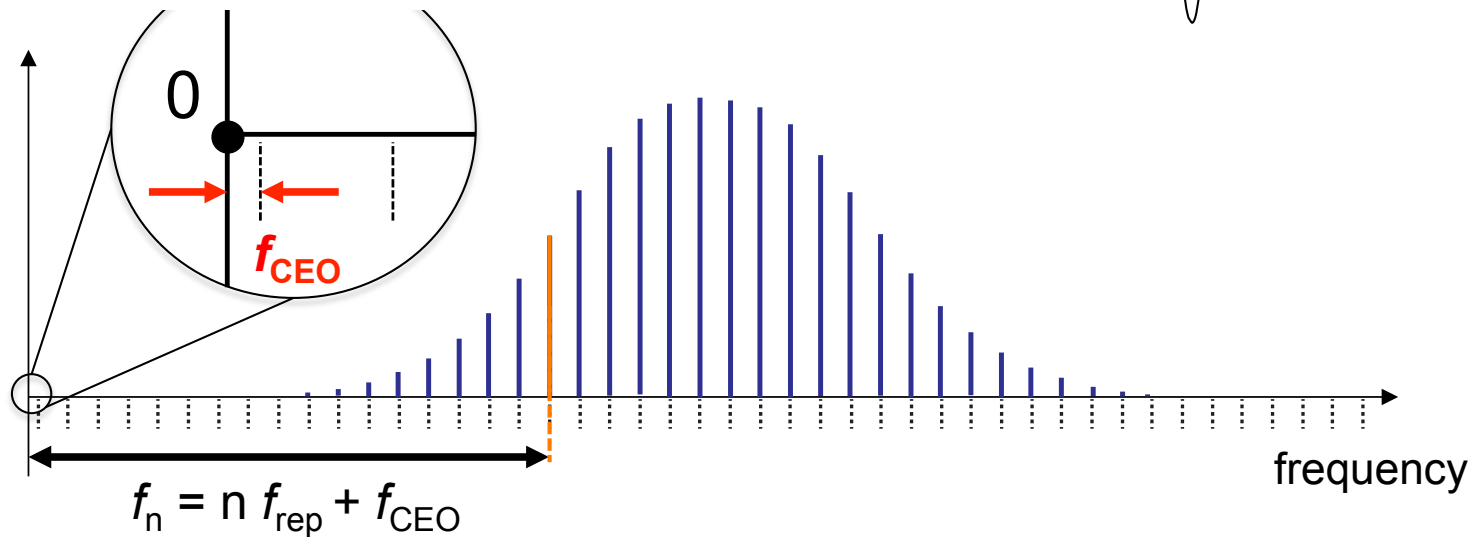
CEO phase $\Delta\varphi_0$

$$f_{CEO} = \frac{\Delta\varphi_0}{2\pi T_R}$$



Electric field

$$E(t) = A(t) \exp(i\omega_c t + i\varphi_0(t))$$

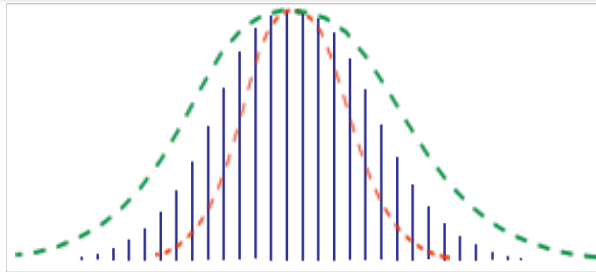


H.R. Telle, G. Steinmeyer, A.E. Dunlop, J. Stenger, D.H. Sutter and U. Keller, Appl. Phys. B 69, 327 (1999)

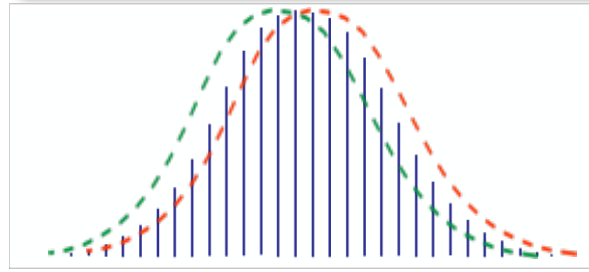
Frequency combs from modelocked lasers

free-running passively modelocked laser

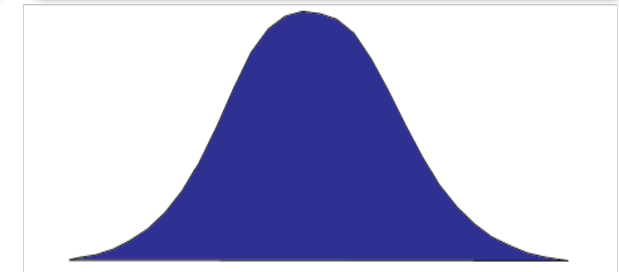
unlocked repetition rate: f_{rep}



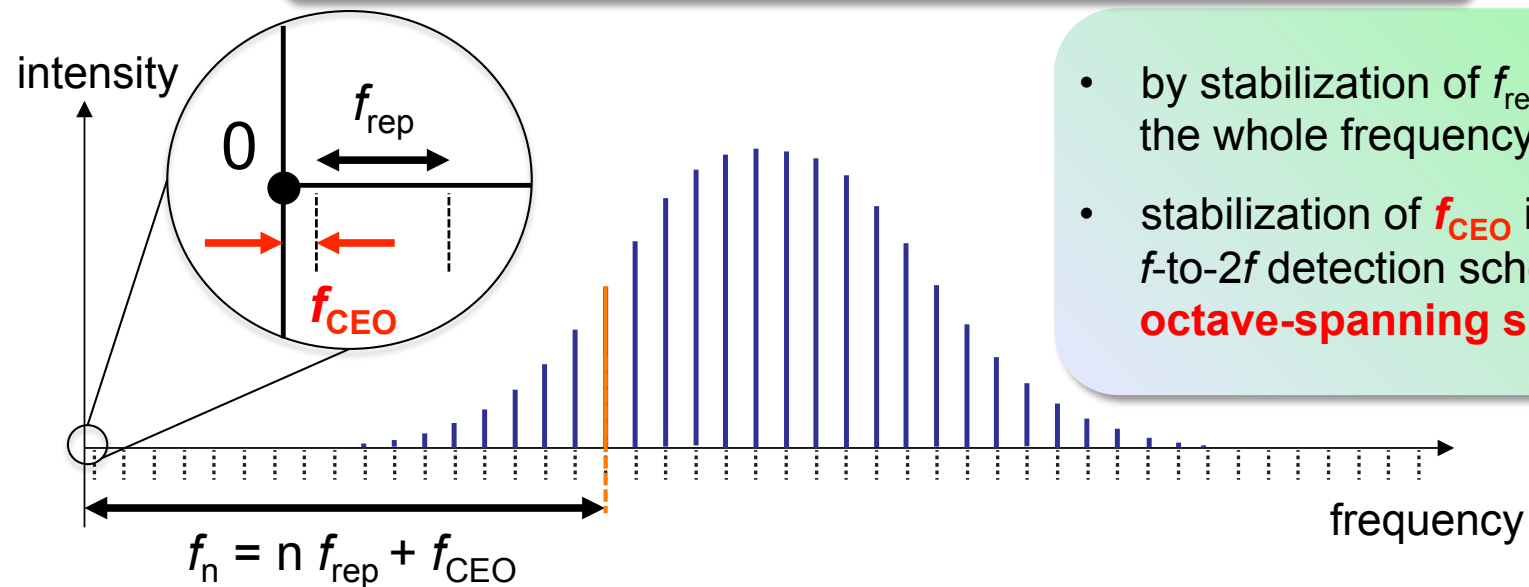
unlocked CEO: f_{CEO}



time average



phase-locked passively modelocked laser



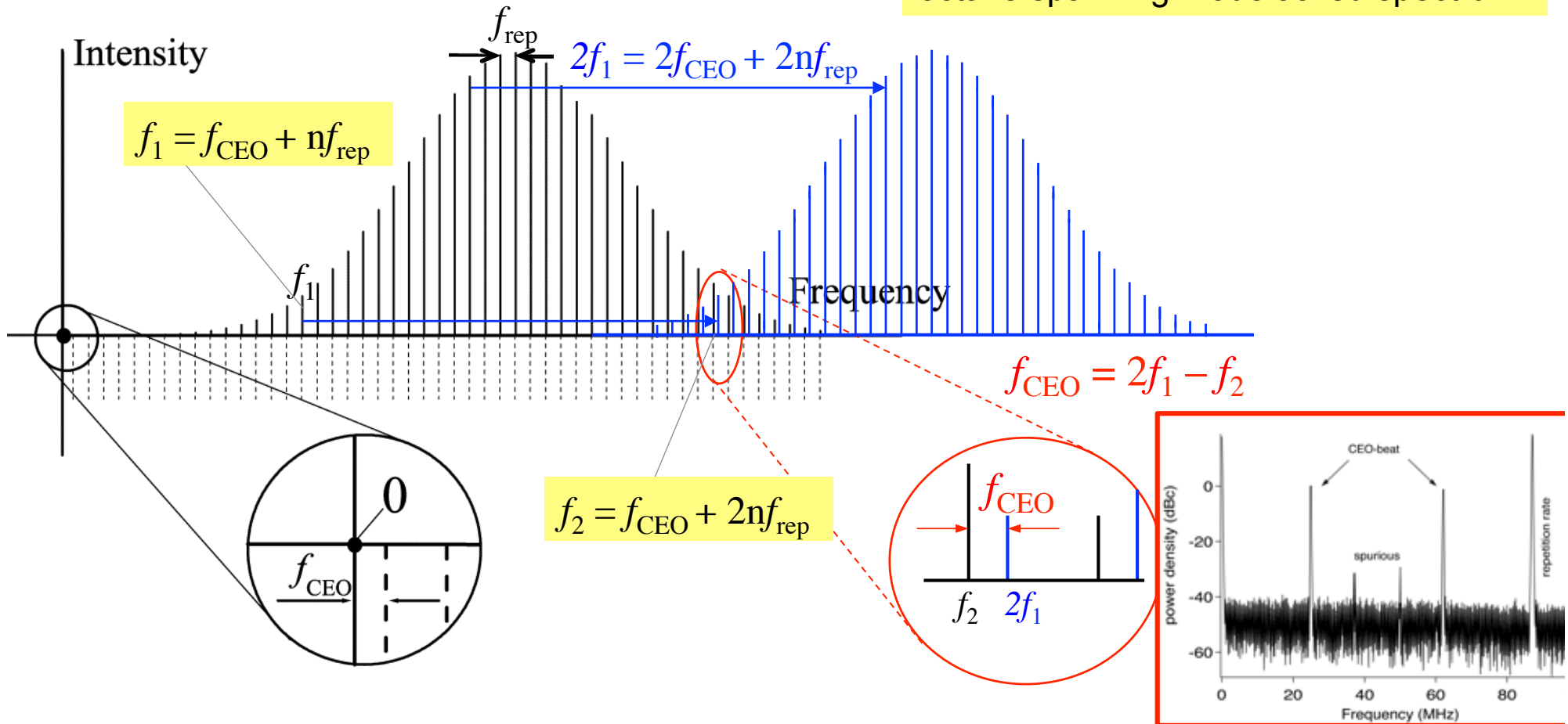
- by stabilization of f_{rep} and f_{CEO} , the whole frequency comb is locked!
- stabilization of f_{CEO} is challenging: f -to- $2f$ detection scheme [1] requires **octave-spanning spectrum**

[1] comb self-referencing: H.R. Telle, G. Steinmeyer, A.E. Dunlop, J. Stenger, D.H. Sutter and U. Keller, Appl. Phys. B 69, 327 (1999)

How can we measure the frequency comb offset ?

f_{rep} : pulse repetition rate frequency , f_{CEO} : carrier envelope offset frequency

octave spanning modelocked spectrum



Mode beating of fundamental and second harmonic frequency comb
 f -to- $2f$ interference technique: $f_{\text{CEO}} = 2f_1 - f_2$

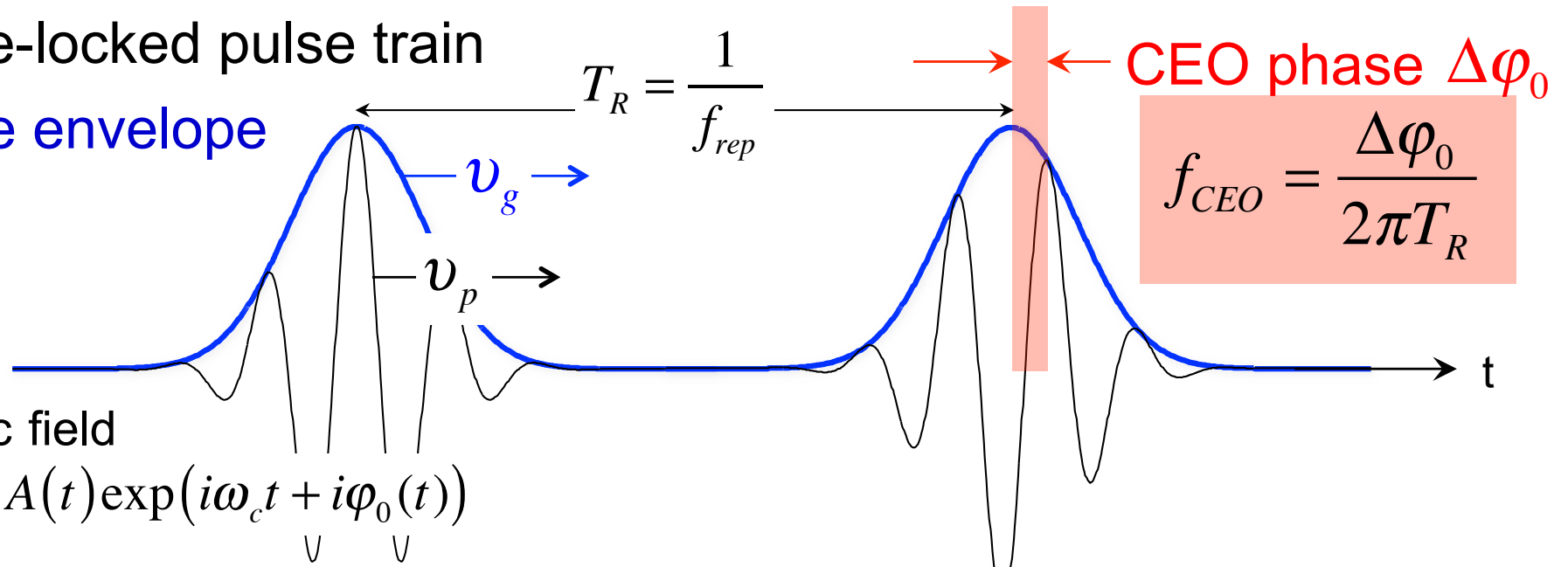
H.R. Telle, G. Steinmeyer, A. E. Dunlop, J. Stenger, D. H. Sutter, U. Keller, *Appl. Phys. B* **69**, 327 (1999)

How can we stabilize the frequency comb offset ?

Mode-locked pulse train

Pulse envelope

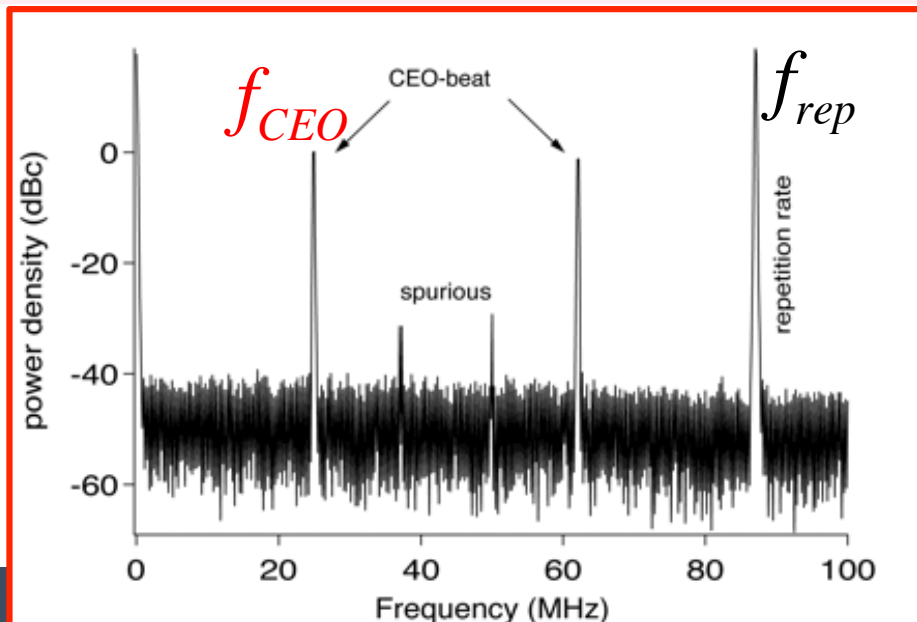
$A(t)$



Electric field

$$E(t) = A(t)\exp(i\omega_c t + i\phi_0(t))$$

Mode beating measured with a simple photodetector and observed on an microwave spectrum analyzer

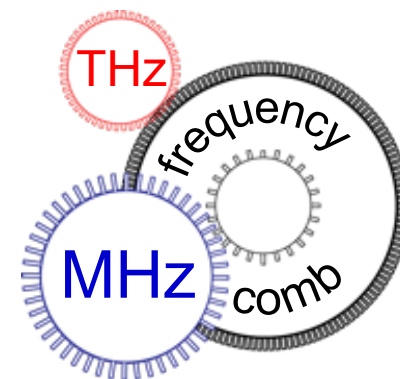
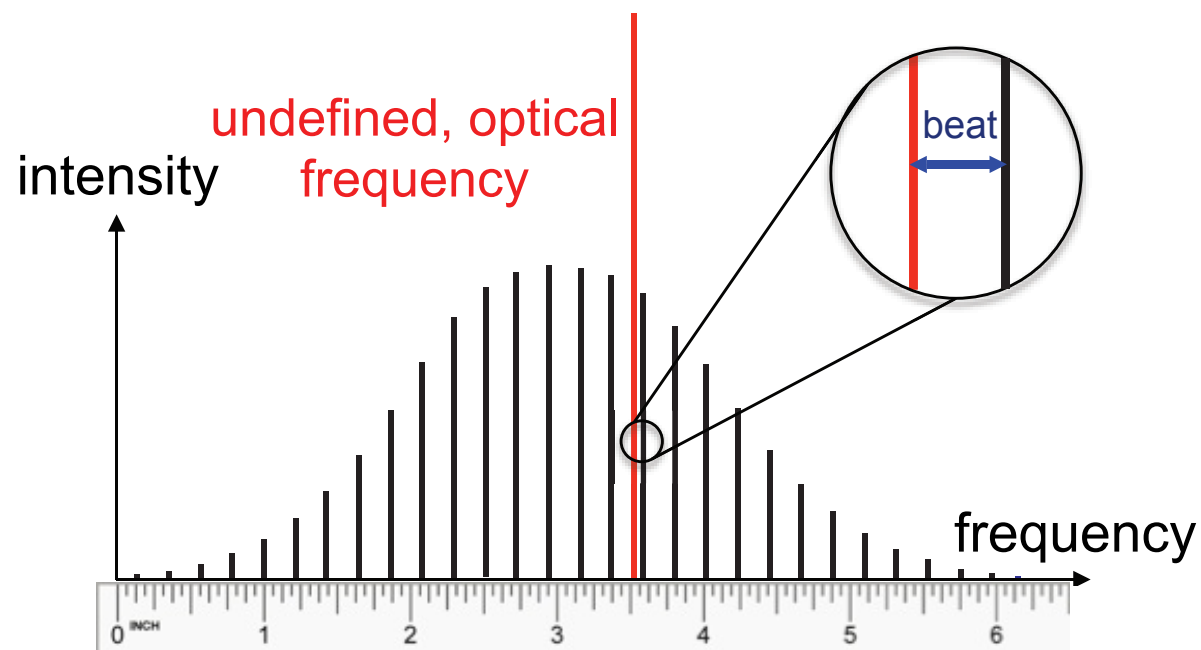


Anything where

$$\Delta v_p \neq \Delta v_g$$

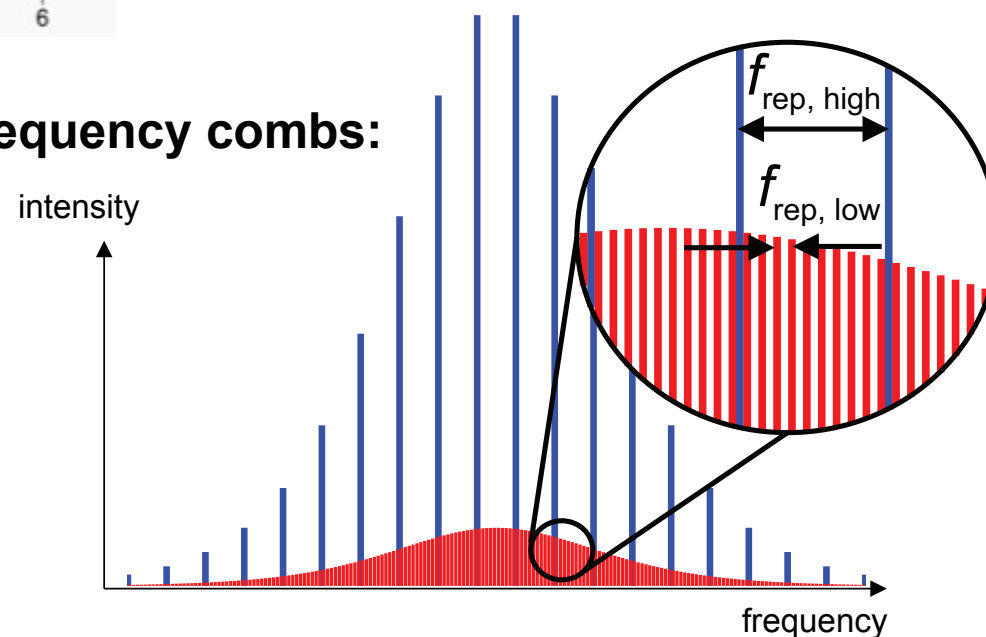
inside the modelocked laser

phase-stable link:
optical to microwave



High gigahertz pulse repetition rate frequency combs:

- higher power per mode
- easier to access individual lines
- more compact laser system



ETH zürich SESAM macht kurze Pulse

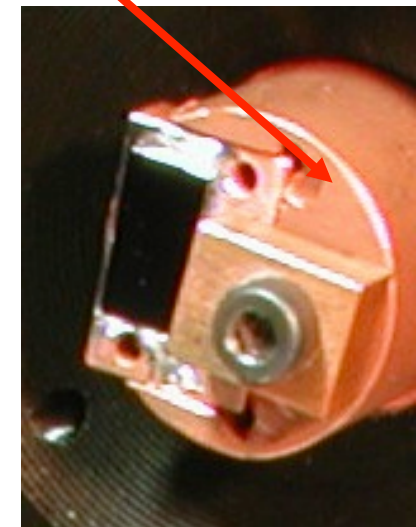
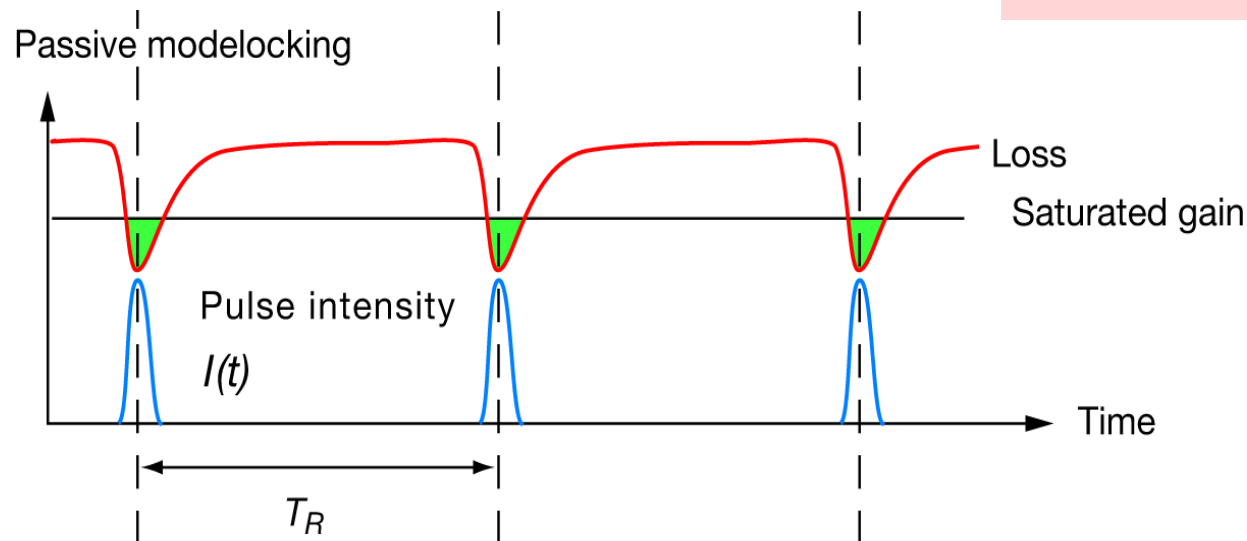
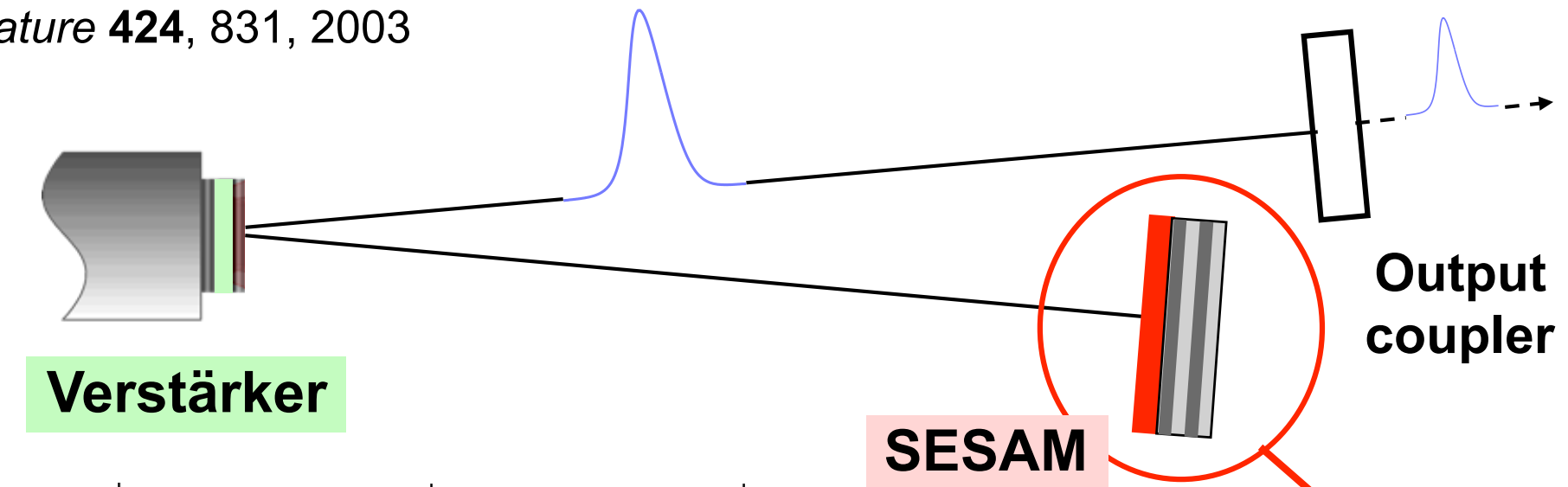
U. Keller et al. *Opt. Lett.* **17**, 505, 1992

IEEE JSTQE **2**, 435, 1996

Progress in Optics **46**, 1-115, 2004

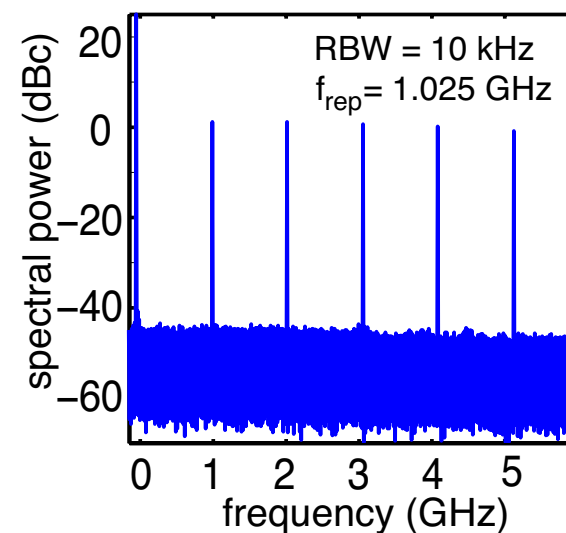
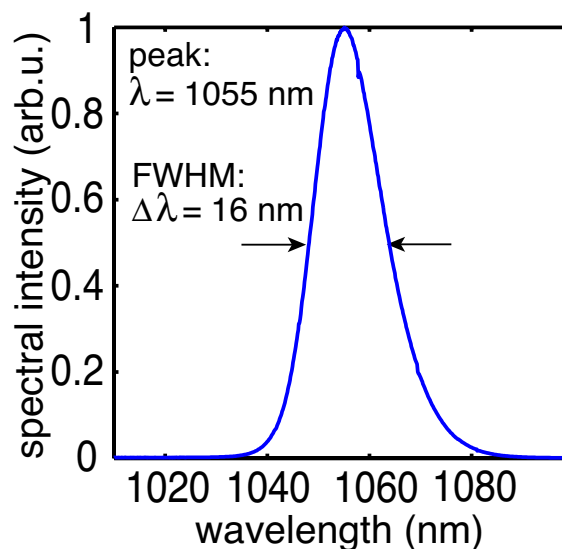
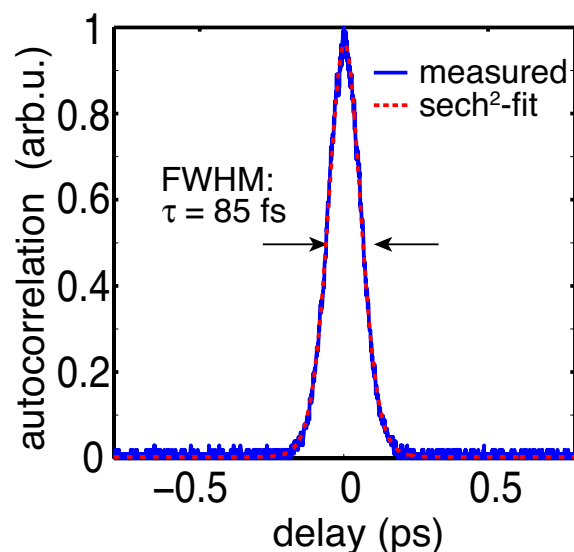
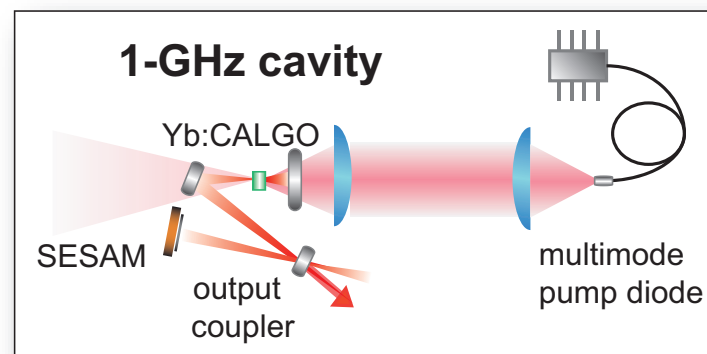
Nature **424**, 831, 2003

www.ulp.ethz.ch/research/Sesam



1-GHz SESAM-modelocked diode-pumped solid state laser

Repetition Rate	1.025 GHz
Gain Medium	2-mm Yb:CALGO
Output Power	< 1.7 W
Center Wavelength	1055 nm
Pulse Durations	> 63 fs



A. Klenner, S. Schilt, T. Südmeyer, and U. Keller, Opt. Express **22**, 31008-31019 (2014)

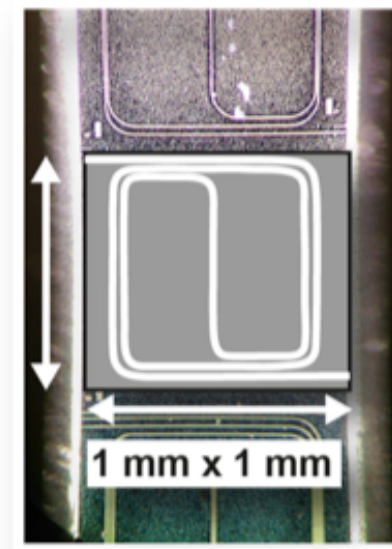
Silicon Nitride (Si₃N₄)

- VIS to 6 μm, negligible two-photon absorption at 1 μm
- 10 times higher nonlinear index n_2 than silica
- CMOS-compatible

D. J. Moss, R. Morandotti, A. L. Gaeta, and M. Lipson, *Nature Photon.* **7**, 597-607 (2013)

Our Si₃N₄ Waveguide:

Substrate:	Oxide-clad Silicon
Top-Cladding:	SiO ₂
Cross section:	690 nm x 900 nm
Length:	7.5 mm
Bend radius:	> 100 μm
Nonlin. coeff.:	$\gamma = 3.25 \text{ W}^{-1}\text{m}^{-1} @1055 \text{ nm}$

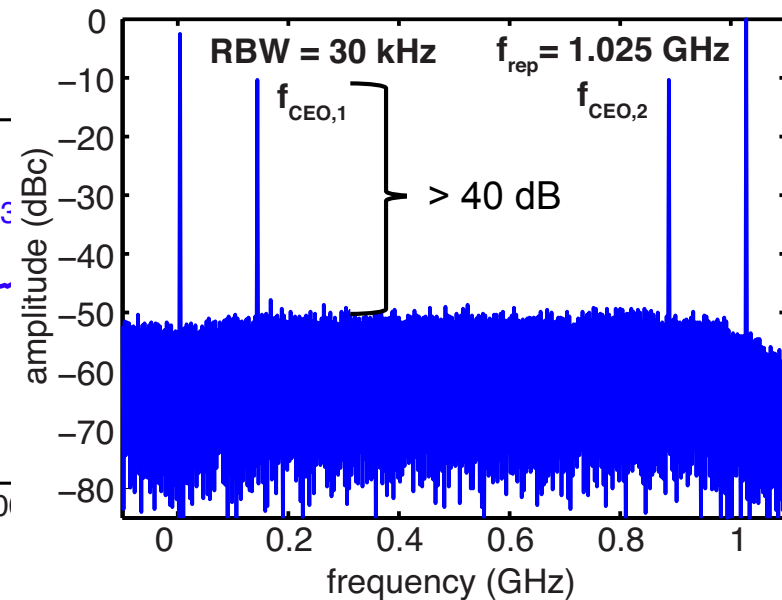
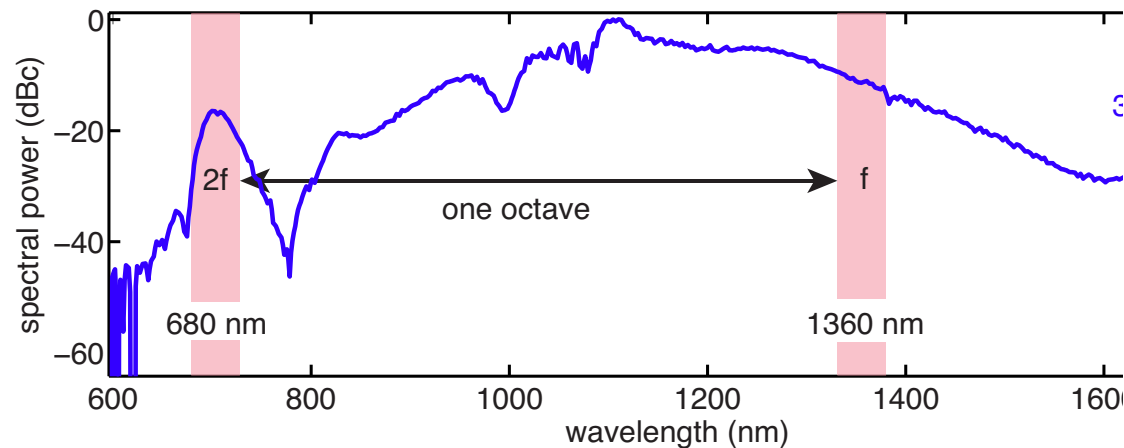
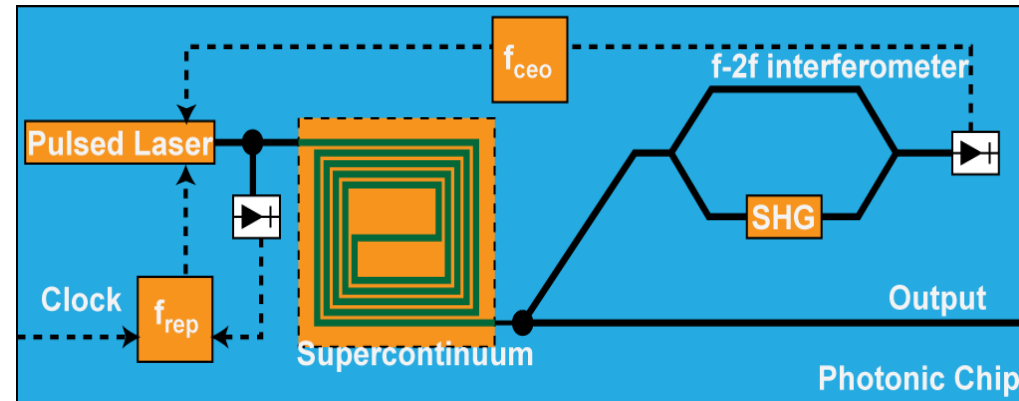


Silicon Nitride (Si₃N₄)

- VIS to 6 μm, negligible two-photon absorption at 1 μm
- 10 times higher nonlinear index n_2 than silica
- CMOS-compatible

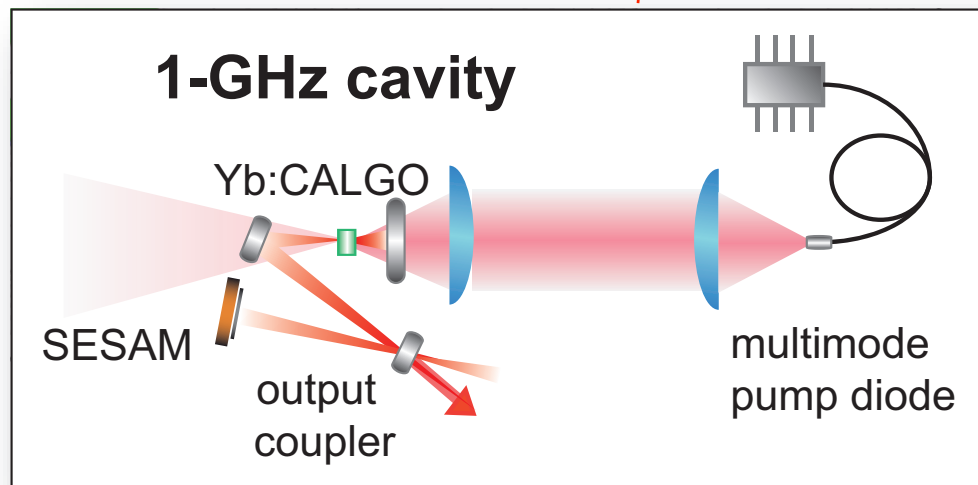
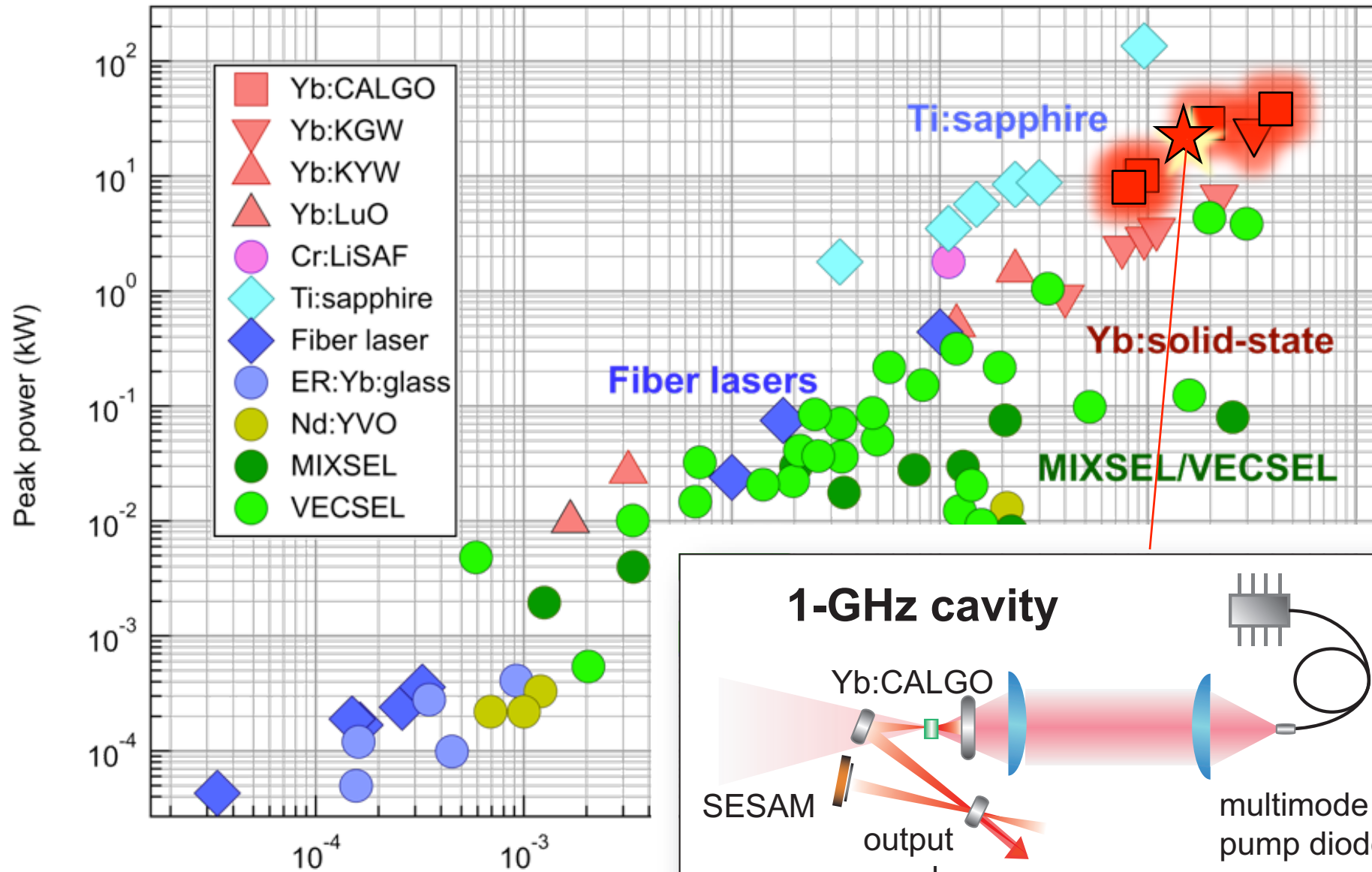
D. J. Moss, R. Morandotti, A. L. Gaeta, and M. Lipson, *Nature Photon.* **7**, 597-607 (2013)

Motivation: Full integration



A. S. Mayer, A. Klenner, A. R. Johnson, K. Luke, M. R. E. Lamont, Y. Okawachi, M. Lipson, A. L. Gaeta, U. Keller, *Opt. Express* **23**, 15440-15451 (2015)

GHz oscillators w/o amplification or compression





OPSLs = OP-VECSELs

Optically Pumped Semiconductor Lasers

POWER. PRECISION. PERFORMANCE.
— BASED ON SEMICONDUCTOR LASERS



Superior Reliability & Performance

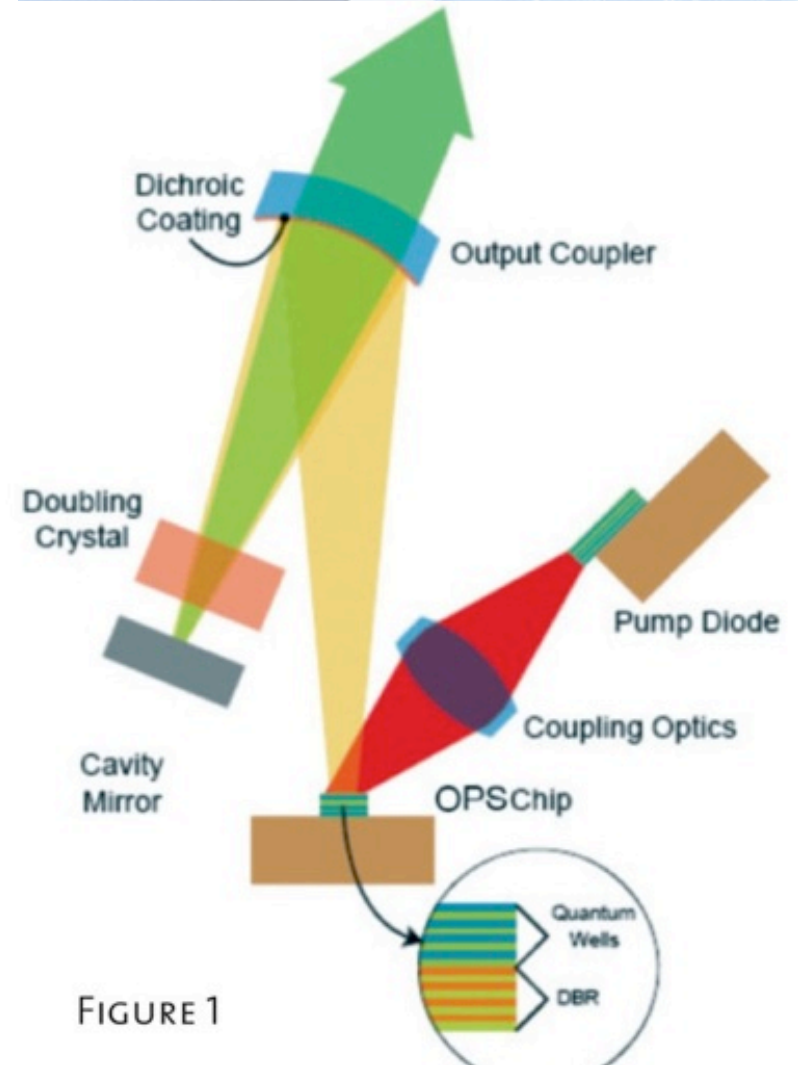
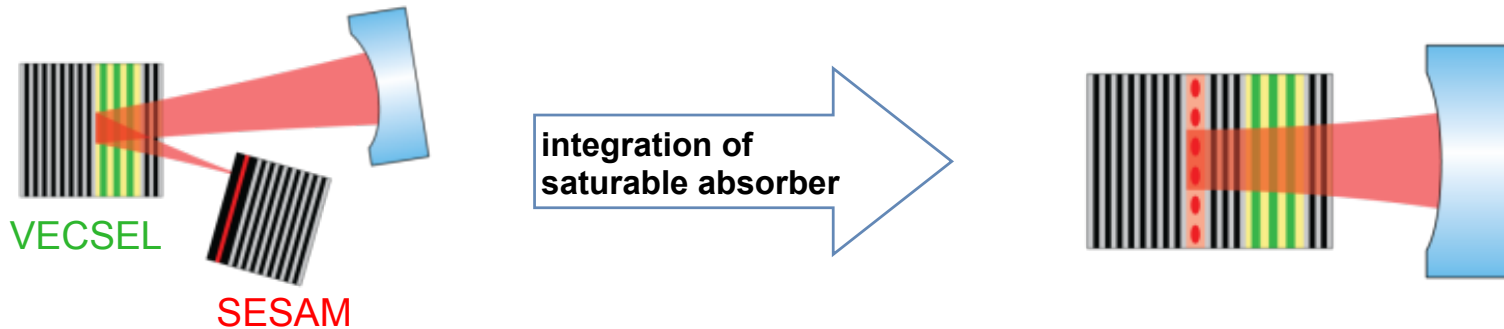


FIGURE 1



MIXSEL Concept



VECSEL

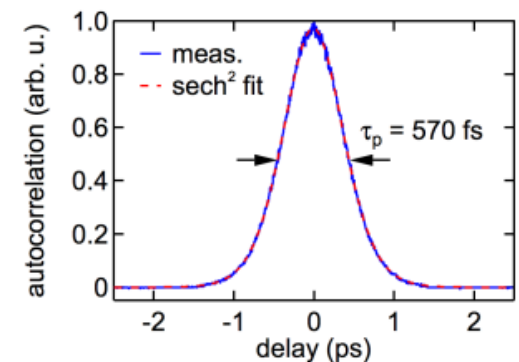
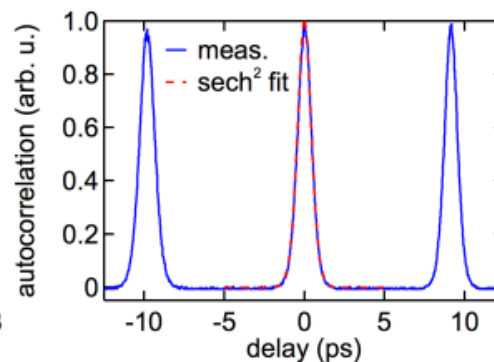
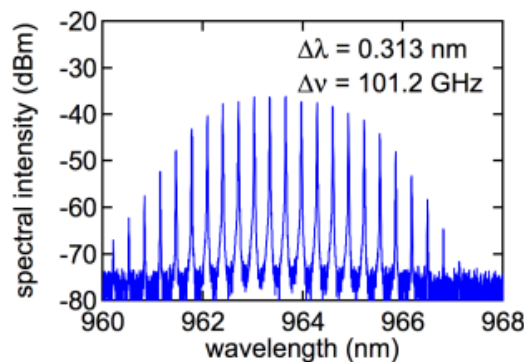
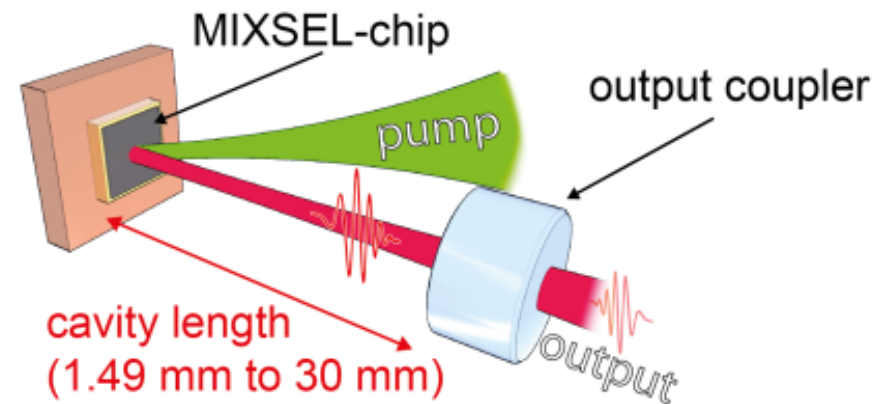
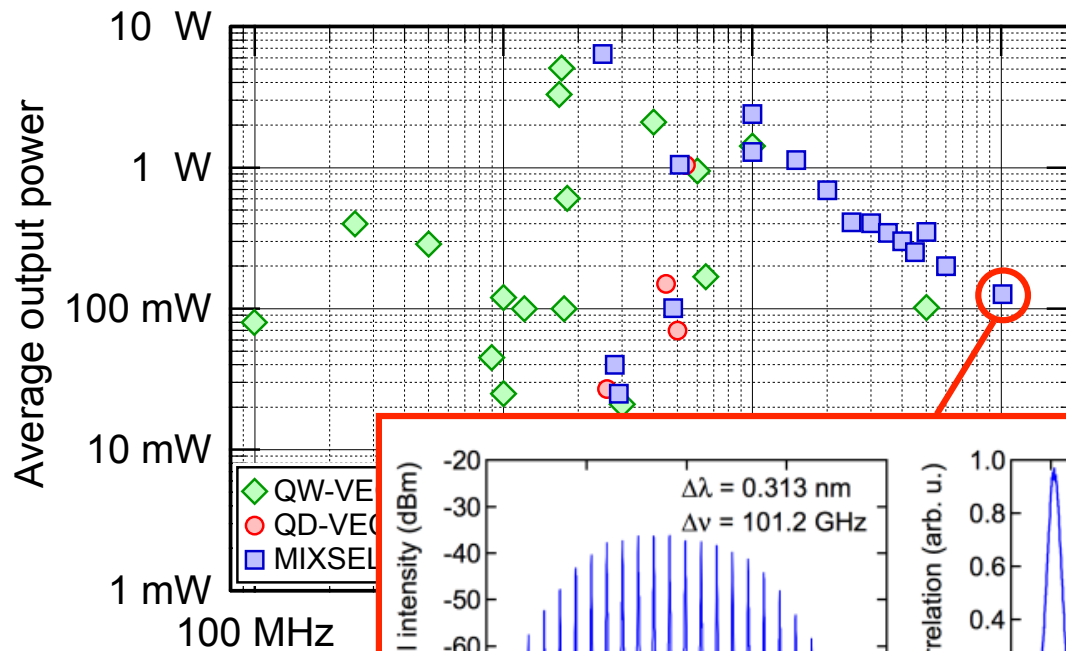
Vertical External Cavity
Surface Emitting Laser

SESAM

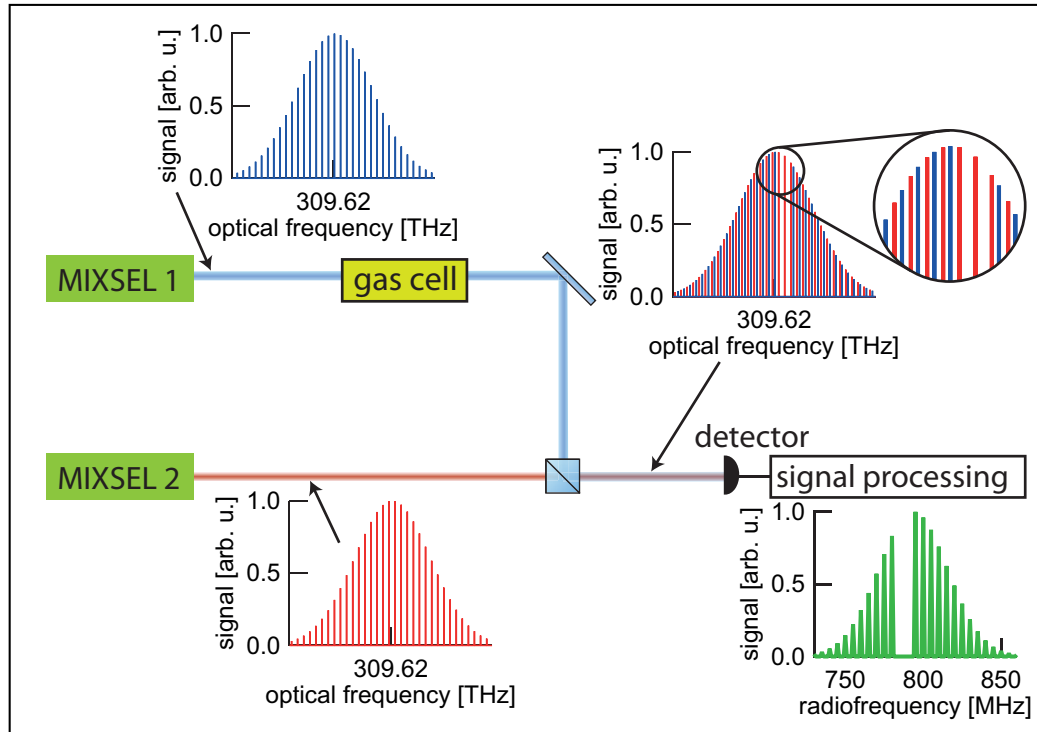
+ **SESAM**
Semiconductor Saturable
Absorber Mirror

MIXSEL

Modelocked Integrated External-
Cavity Surface Emitting Laser

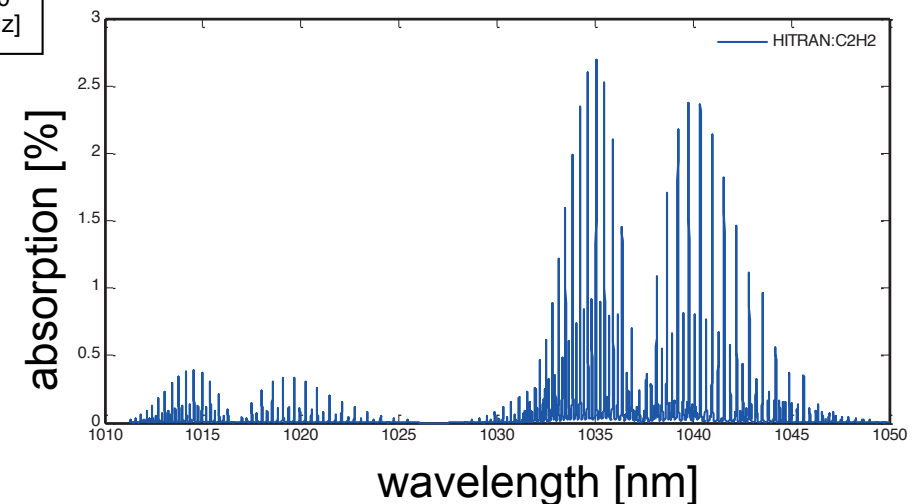


possible gas spectroscopy setup

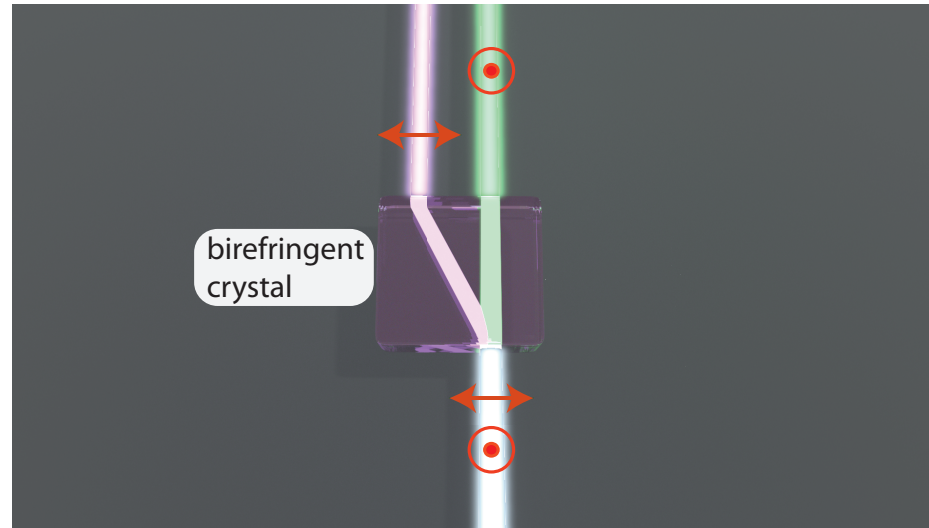


requirement: 2 modelocked lasers with slightly different pulse repetition frequencies

Acetylene has strong absorption lines in the near infrared around 1035 nm.



Novel concept for modelocked lasers:



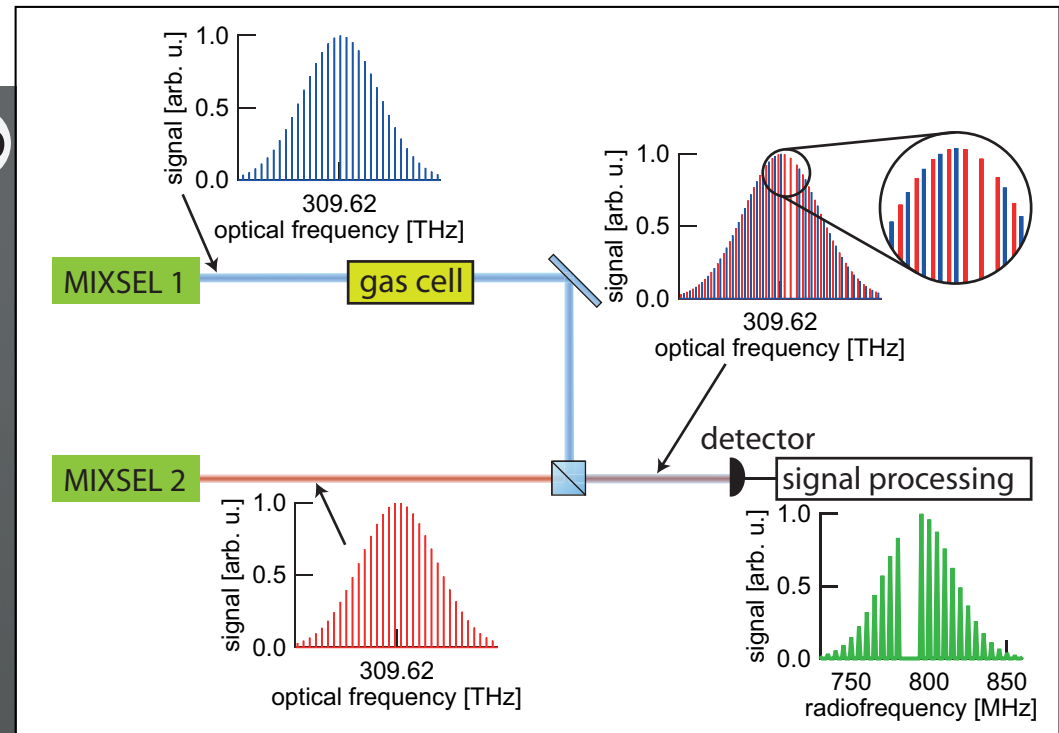
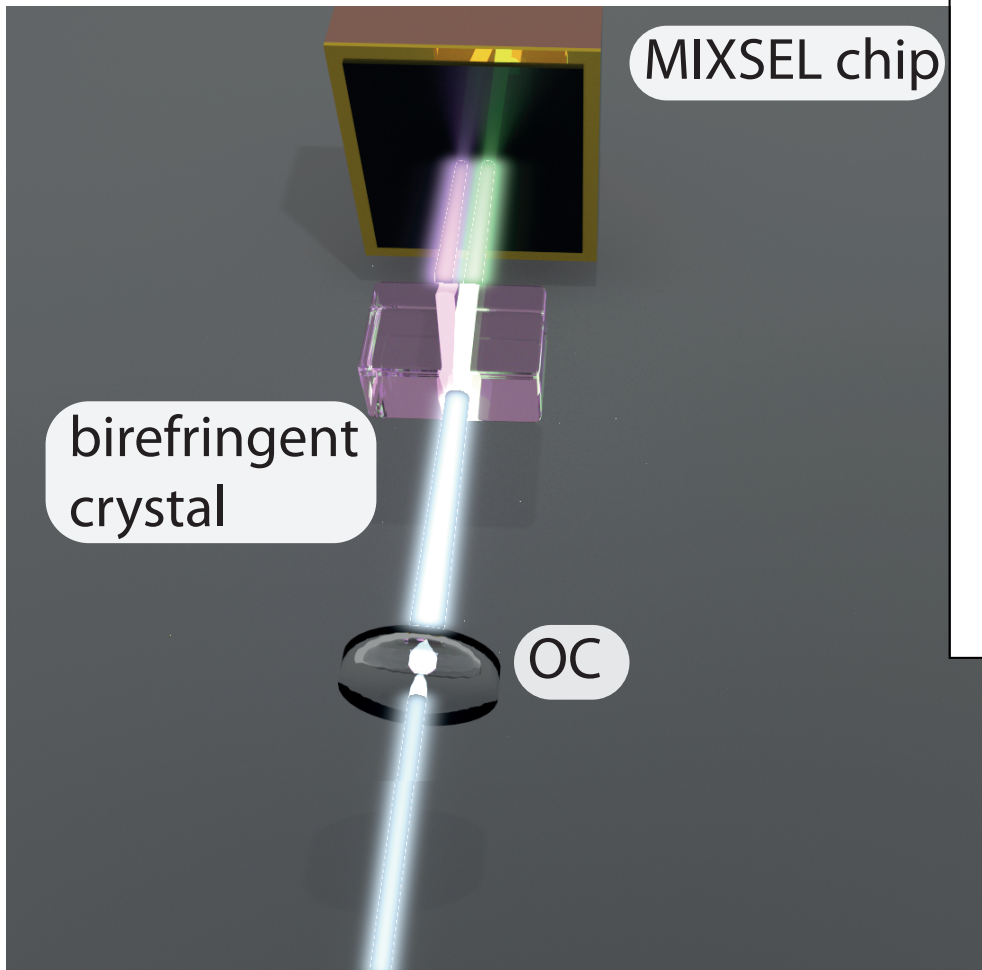
intra-cavity birefringent crystal

→ two beams:

- orthogonal polarization
- spatially separated
- different optical path-length

S. M. Link, A. Klenner, M. Mangold, C. A. Zaugg, M. Golling, B. W. Tilma, U. Keller,
Opt. Express, vol. 23, No. 5, pp. 5521-5531, 2015

Dual-comb gas spectroscopy



In general ...

ULP - Ultrafast Laser Physics (Mission Statement)

To explore and push the frontiers in ultrafast science and technology, using interdisciplinary understanding of the physics of lasers, semiconductors, and measurement technologies. Take this competitive know-how to understand and control fundamental charge and energy transport with atomic spatial and attosecond temporal resolution.

www.ulp.ethz.ch



↓

Ultrafast solid-state lasers

- High-power TDLs
- Semiconductor disk lasers
- High rep rate SSLs

↓

Attosecond science

- OPCPA
- Attoline
- Attoclock (COLTRIMS)
- etc...